Cours de construction en bois Bachelor

La poutre

ELS, déversement, détail

EPFL

ELS

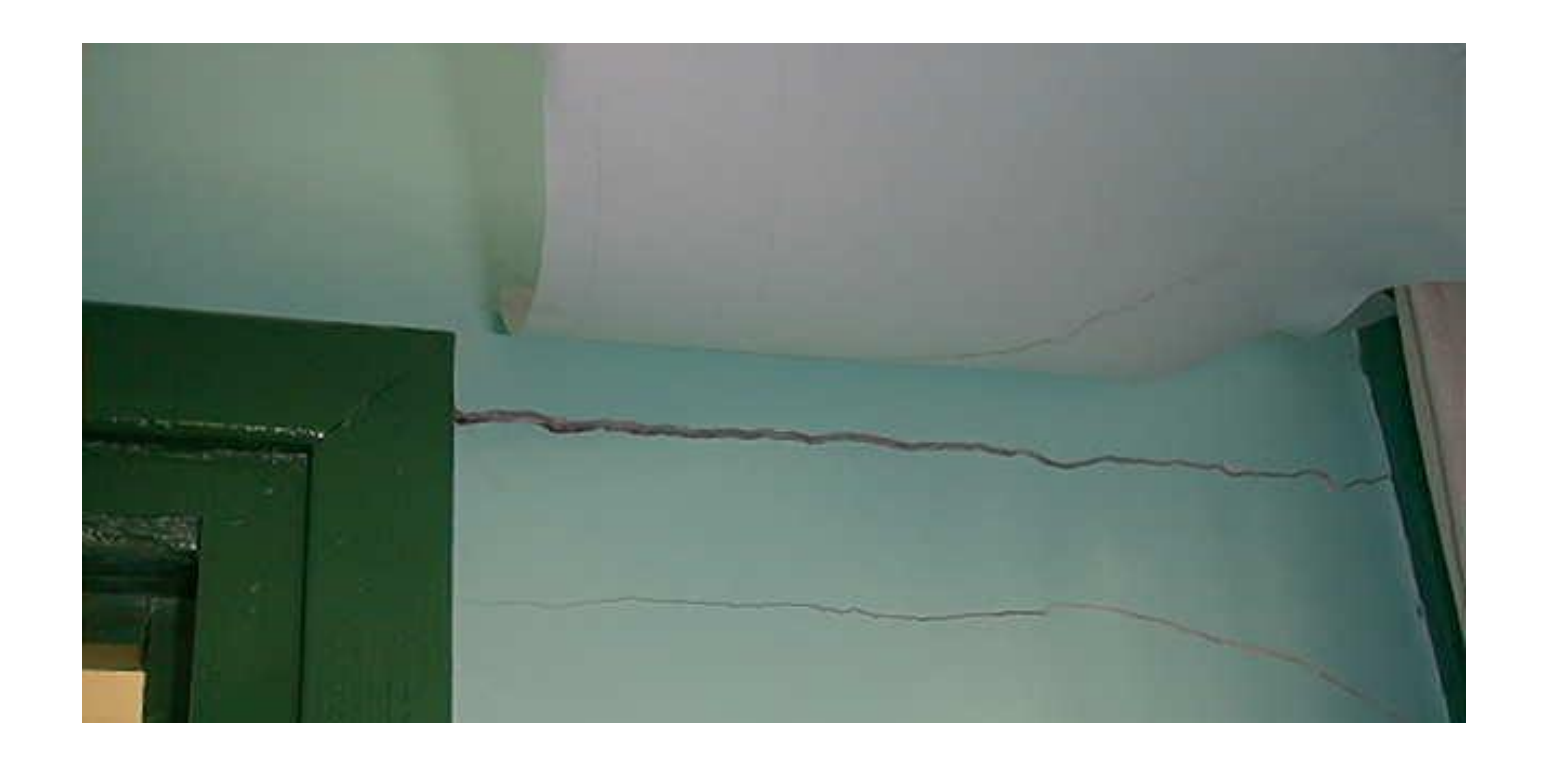
Etat limite de service

ELS

- C'est :
 - Etat limite de service
 - Aptitude au service
 - Vérification des déformations
 - Limitation des déformations
 - Des fissurations...

L'état limite de service ELS

- 80% des expertises 80% des problèmes
- Surtout la fissuration



Etat limite de service ELS

Limiter l'impact visuel



L'état limite de service ELS

Limiter les déformations courte durée





Une pièce à vivre



- de la structure
- des couches architecturales
- Charge utile
 - Variable courte durée
 - Quasi permanente



Source: IKEA.com

poutre, dalle

isolation, chape, faux plafond, cloison

personnes

mobilier, divan, aquarium

- SIA 261
 - Cat A locaux dans les immeubles q_k = 2 kN/m²

Tableau 8: Catégories des surfaces utiles et valeurs caractéristiques des charges utiles

Catégorie	Genre de surface utile	Exemple	q_k [kN/m ²]	Q_k [kN]
A	Surfaces d'habitation	A1: Locaux dans les immeubles, les maisons d'habitation, les services des hôpitaux, les chambres d'hôtel, les cuisines et les toilettes	2	2 1)
		A2: Balcons	3	2 1)
		A3: Escaliers	4	2 1)

TABLEAU DE TCB p. 13

Etat-limite	Cas de charge déterminant ¹⁾		Valeur indicative de la flèche
Aptitude au fonctionnement pour structures porteuses avec éléments incorporés sensibles aux déformations. Conséquences irréversibles de l'effet d'une action dues à un cas de charge rare.	$Q_{Ed} = G_{ki} + Q_{k1} + \psi_{0i} \cdot Q_{ki}$	$w \le \frac{l}{500}$	 après déduction de la contreflèche effet à long terme compris (fluage après montage des principaux éléments non porteurs des mesures constructives sont aussi à prévoir
Aptitude au fonctionnement pour structures porteuses avec éléments incorporés peu sensibles aux déformations. Conséquences réversibles de l'effet d'une action dues à un cas de charge fréquent.	$Q_{Ed} = G_{ki} + \psi_1 \cdot Q_{k1} + \psi_{2i} \cdot Q_{ki}$	$w \le \frac{l}{350}$	 après déduction de la contreflèche effet à long terme compris (fluage après montage des principaux éléments non porteurs
Confort/aptitude au fonctionnement Conséquences réversibles de l'effet d'une action dues aux actions variables d'un cas de charge fréquent.	$Q_{Ed} = \psi_1 \cdot Q_{k1} + \psi_{2i} \cdot Q_{ki}$	$w \le \frac{l}{350}$	
Aspect Conséquences réversibles de l'effet d'une action dues à un cas de charge quasi permanent.	$Q_{Ed} = G_{ki} + \psi_{2i} \cdot Q_{ki}$	$w \le \frac{l}{300}$	 après déduction de la contreflèche effet à long terme compris (fluage

TABLEAU DE TCB p. 13

	isons de cas de charge et valeurs oour différents états-limites selon l	imites des flèches de poutres et de planchers a norme SIA 260
Etat-limite	Cas de charge déterminant ¹⁾	Valeur indicative de la flèche
Aptitude au fonctionnement pour structures porteuses avec éléments incorporés sensibles aux déformations. Conséquences irréversibles de l'effet d'une action dues à un cas de charge rare.	$Q_{Ed} = G_{ki} + Q_{k1} + \psi_{0i} \cdot Q_{ki}$	 après déduction de la contreflèche effet à long terme compris (fluage) après montage des principaux éléments non porteurs des mesures constructives sont aussi à prévoir
Aptitude au fonctionnement pour structures porteuses avec éléments incorporés peu sensibles aux déformations. Conséquences réversibles de l'effet d'une action dues à un cas de charge fréquent.	$Q_{Ed} = G_{ki} + \psi_1 \cdot Q_{k1} + \psi_{2i} \cdot Q_{ki}$	$w \le \frac{l}{350}$ - après déduction de la contreflèche effet à long terme compris (fluage) - après montage des principaux éléments non porteurs
Confort/aptitude au fonctionnement Conséquences réversibles de l'effet d'une action dues aux actions variables d'un cas de charge fréquent.	$Q_{Ed} = \psi_1 \cdot Q_{k1} + \psi_{2i} \cdot Q_{ki}$	$w \le \frac{l}{350}$ - Effet à long terme compris (fluage)
Aspect Conséquences réversibles de l'effet d'une action dues à un cas de charge quasi permanent.	$Q_{Ed} = G_{ki} + \psi_{2i} \cdot Q_{ki}$	$w \le \frac{l}{300}$ - après déduction de la contreflèche - effet à long terme compris (fluage)

SIA 260 Annexe A tableau 3

Tableau 3: Valeurs indicatives des flèches des planchers et des poutres

État-limite	Conséquences des effets des actions					
	irréversibles	réversibles	réversib l es			
	Cas de charge					
	rare (20)	fréquent (21)	quasi permanent (22)			
Aptitude au fonctionnement – Éléments incorporés à caractère fragile – Éléments incorporés à caractère ductile – Utilisation et exploitation	$w \le l/500^{-1)(2)}$	$w \le l/350^{-1}$ $w \le l/350^{-3}$				
Confort		$w \le l/350^{3}$				
Aspect			$w \le l/300^{-4}$			

- 1) Flèche due aux actions, en particulier aux actions à long terme, après le montage de tous les éléments de construction secondaires et la mise en place de l'équipement technique.
- 2) Si des éléments incorporés réagissent de manière particulièrement sensible aux déformations de la structure porteuse, il faut avant tout prévoir des mesures constructives contre les dommages, en plus ou à la place des mesures découlant de la procédure de dimensionnement.
- 3) Flèche due uniquement aux actions variables.
- ⁴⁾ Flèche, après déduction d'une éventuelle contreflèche. Les éventuels effets à long terme doivent être pris en considération.

Les flèches seront déterminées selon les indications des normes SIA 262 à 266.

Des valeurs limites différentes pour les flèches peuvent être convenues en accord avec les exigences d'utilisation. Elles seront consignées dans la base du projet. Des exigences réduites sont envisageables spécialement pour les éléments de construction secondaires.

3) Flèche due uniquement aux actions variables.

Tableau 3: Valeurs indicatives des flèches des planchers et des poutres

État-limite	Conséquences des effets des actions					
	irréversibles	réversibles	réversib l es			
	Cas de charge					
	rare (20)	fréquent (21)	quasi permanent (22)			
Aptitude au fonctionnement – Éléments incorporés à caractère fragile – Éléments incorporés à caractère ductile – Utilisation et exploitation	w ≤ l/500 ^{1) 2)}	$w \le l/350^{-1}$ $w \le l/350^{-3}$				
Confort		$w \le l/350^{-3}$				
Aspect			w ≤ l/300 ⁴⁾			

- 1) Flèche due aux actions, en particulier aux actions à long terme, après le montage de tous les éléments de construction secondaires et la mise en place de l'équipement technique.
- ²⁾ Si des éléments incorporés réagissent de manière particulièrement sensible aux déformations de la structure porteuse, il faut avant tout prévoir des mesures constructives contre les dommages, en plus ou à la place des mesures découlant de la procédure de dimensionnement.
- 3) Flèche due uniquement aux actions variables.
- ") Flèche, après déduction d'une éventuelle contreflèche. Les éventuels effets à long terme doivent être pris en considération.

Les flèches seront déterminées selon les indications des normes SIA 262 à 266.

Des valeurs limites différentes pour les flèches peuvent être convenues en accord avec les exigences d'utilisation. Elles seront consignées dans la base du projet. Des exigences réduites sont envisageables spécialement pour les éléments de construction secondaires.

SIA 260 Annexe A Tableau 2

Tableau 2: Coefficients de réduction pour les bâtiments

Actions	ψ_0 (rares)	ψ_1 (fréquentes)	ψ_2 (quasi permanentes)	
Charges utiles dans les bâtiments - Catégorie A Locaux habitables	0,7	0,5	0,3	

La charge utile de 2 KN/m²

70% de la charge concomitante est rare = 1.4 kN/m²

50% de la charge est fréquente = 1.0 kN/m^2

30% de la charge est quasi permanente = 0.6 kN/m²

= > donc 0,4 kN/m2 sont variable de courte durée

- Limitation des déformations
 - 1. Aptitude au fonctionnement cloisons fragile
 - 2. Aptitude au fonctionnement cloisons ductile
 - Aptitude au fonctionnement utilisation exploitation Confort
 - 4. Aspect

4 cas => tous sont à vérifier en fonction de la situation

- Limitation des déformations
 - 1. Aptitude au fonctionnement cloisons fragile Soit l'un
 - 2. Aptitude au fonctionnement cloisons ductile soit l'autre
 - 3. Aptitude au fonctionnement utilisation exploitation Confort
 - 4. Aspect

4 cas => tous sont à vérifier
 en fonction de la situation !?!
 mais jamais 1 et 2 ensemble

- Aptitude au fonctionnement cloison fragile
 - Baie vitrée
 - Cloison en alba
 - Porte coulissante
 - **...**
 - Tout élément dont son fonctionnement, son esthétique pourrai être affecté par la déformation

ELS

Cas rare

Cloison alba

Baie vitrée

Porte de hangar







ATTENTION : ce n'est pas parce que vous avez respecté ces limites que vous n'aurez pas de problème!!!

Déduction contresser

1. Aptitude au fonctionnement – cloison fragile

Flèche longue durée et variable (rare)

Poids propre de la structure

Les charges utile 100%

g = 2.5 kN/m2 avec fluage

q = 2.0 kN/m2

 $q = 0.6 \text{ kN/m}^2$

avec fluage

$$\psi_1 = 0.5$$
; $\psi_2 = 0.3$

 $q = 2.0 - 0.6 = 1.4 \text{ kN/m}^2 \text{ sans fluage}$

$$q_{ED} = 2.5 \times 1.6 + 0.6 \times 1.6 + 1.4 = 6.4 \text{ kN/m}^2$$

- La limite de déformation w_{tot} < I/500</p>
- Prendre des mesures constructive contre les dommages

$$Q_{Ed} = G_{ki} + Q_{k1} + \psi_{0i} \cdot Q_{ki}$$

Déduction contressée lèche

2. Aptitude au fonctionnement – cloison ductile

Flèche longue durée et variable (fréquent)

Poids propre de la structure g = 2.5 kN/m2 avec fluage

Les charges utiles (fréquentes) 50% q = 1.0 kN/m2

 $q = 0.6 \text{ kN/m}^2$ avec fluage

 $\psi_1 = 0.5$; $\psi_2 = 0.3$ q =1.0-0.6=0.4 kN/m² sans fluage

 $q_{ED} = 2.5 \times 1.6 + 0.6 \times 1.6 + 0.4 = 5.4 \text{ kN/m}^2$

La limite de déformation $W_{tot} < I/350$ $Q_{Fd} = G_{ki} + \psi_1 \cdot Q_{k1} + \psi_{2i} \cdot Q_{ki}$

3. Aptitude au fonctionnement – utilisation exploitation - confort

Flèche due uniquement aux actions variable (fréquent)

50% de charge utile

q = 1.0 kN/m2

 $q = 0.6 \text{ kN/m}^2$ avec fluage

$$\psi_1 = 0.5$$
; $\psi_2 = 0.3$

 $\psi_1 = 0.5$; $\psi_2 = 0.3$ q = 0.4 kN/m² sans fluage

$$q_{FD} = 0.6 \times 1.6 + 0.4 = 1.4 \text{ kN/m}^2$$

La limite de déformation

 $W_{tot} < 1/350$

$$Q_{Ed} = \psi_1 \cdot Q_{k1} + \psi_{2i} \cdot Q_{ki}$$

Déduction contresséeleche

4. Aspect

Flèche longue durée et variable (quasi permanent)

Poids propre de la structure avec fluage

Les charges utiles quasi permanente $q = 0.6 \text{ kN/m}^2$ avec fluage

 $\psi_2 = 0.3$ $q = 0.4 \text{ kN/m}^2 \text{ sans fluage}$

 $q_{ED} = 2.5 \times 1.6 + 0.6 \times 1.6 = 5.0 \text{ kN/m}^2$

La limite de déformation w_{tot} < l/300</p>

$$Q_{Ed} = G_{ki} + \psi_{2i} \cdot Q_{ki}$$

Classe d'humidité

Le calcul de la flèche (pour du bois conditionné u=12%)

Construction intérieure (classe 1)

$$\eta_{\rm w} = 1.0$$

 $\eta_{w} = 1.0$ donc E = 11'000 N/mm²

Fluage pour les charge longue durée (bois sec)

$$\varphi$$
 = 0.6

$$\varphi = 0.6$$
 donc $w_{inf} = w_{el} (1 + 0.6)$

Construction extérieure protégée des intempéries (classe 2)

$$\eta_{w} = 0.9$$

 $\eta_{\rm w} = 0.9$ donc E = 9'900 N/mm²

Fluage pour les charge longue durée (Bois sec)

$$\varphi = 0.8$$

$$\varphi = 0.8$$
 donc $w_{inf} = w_{el} (1 + 0.8)$

ELU

Etat limite ultime

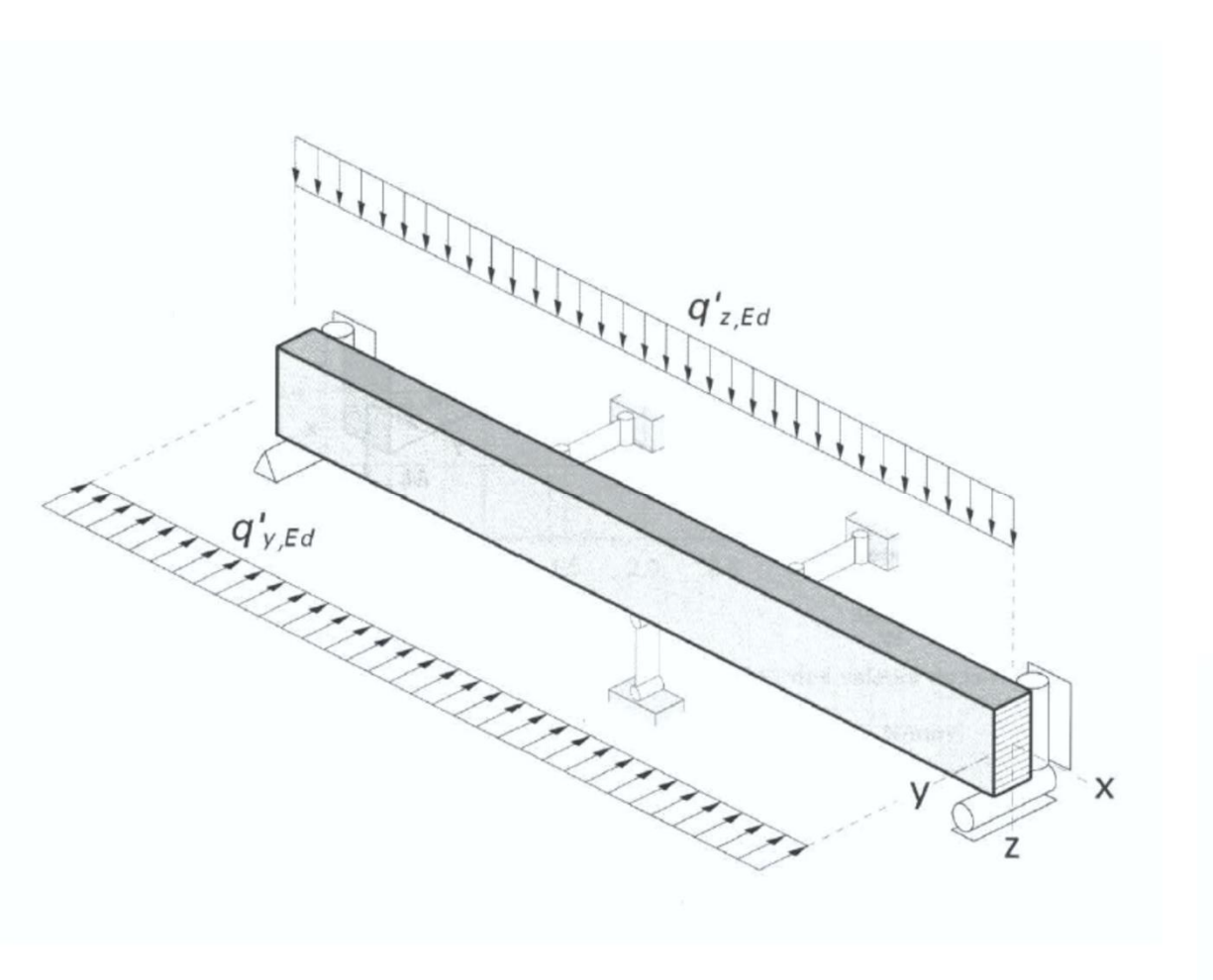
La poutre sur deux appuis

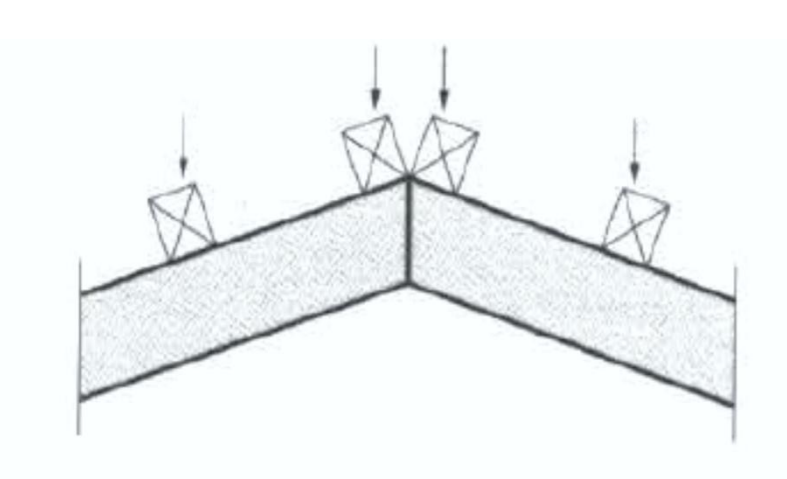
- Flexion
- Effort tranchant
- Surface d'appui
- Réduction à l'appui
- Evidements
- Poutre courbe

La flexion simple

$$\frac{\sigma_{m,z,d}}{f_{m,z,d}} \le 1$$

Flexion bi axiale



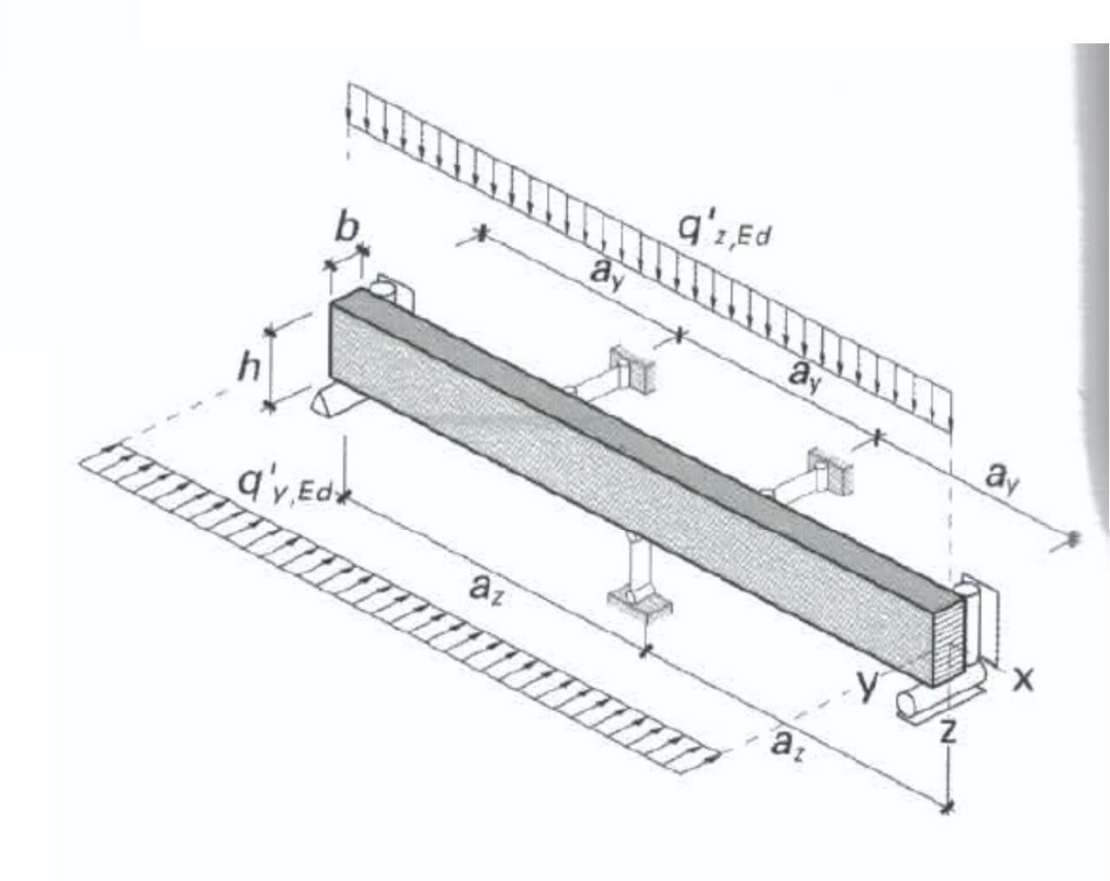


Cas typique de pannes déversées

Flexion bi-axiale

Interaction

$$\frac{\sigma_{m,y,d}}{f_{m,y,d}} + \frac{\sigma_{m,z,d}}{f_{m,z,d}} \le 1$$



Bois massif

Classes de résistance			Résineux				Chêne Hêtre	
			C20	C24	C27	C35 4)	C45 4)	D30
Flexion	$f_{m,d}$	N/mm ²	12	14	16	23	30	17

Bois lamellé collé

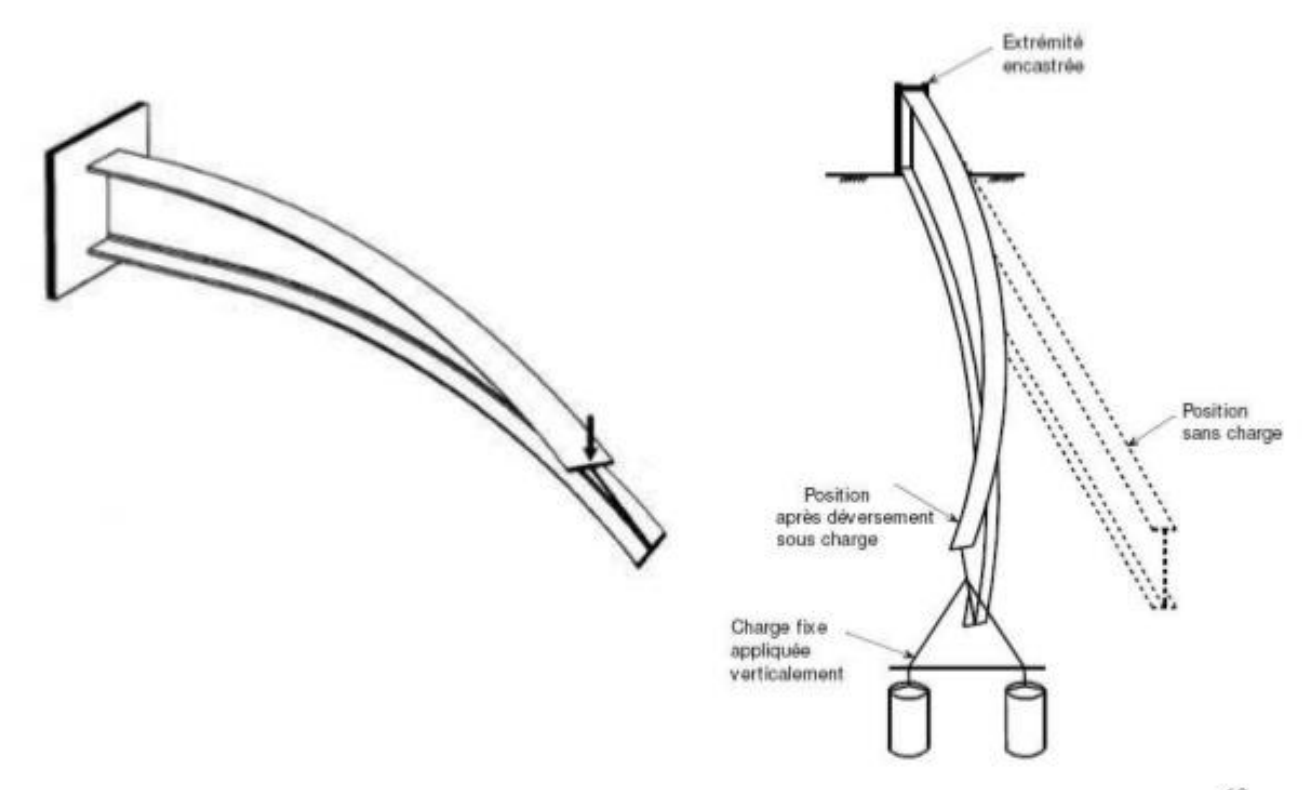
Classes de résistance			BLC normal				BLC haute qualité ⁵⁾	
			GL24k	GL24h	GL28k	GL28h	GL36k	GL36h
Flexion	$f_{m,d}$	N/mm ²	16	16	18,5	18,5	24	24

Déversement

Déversement

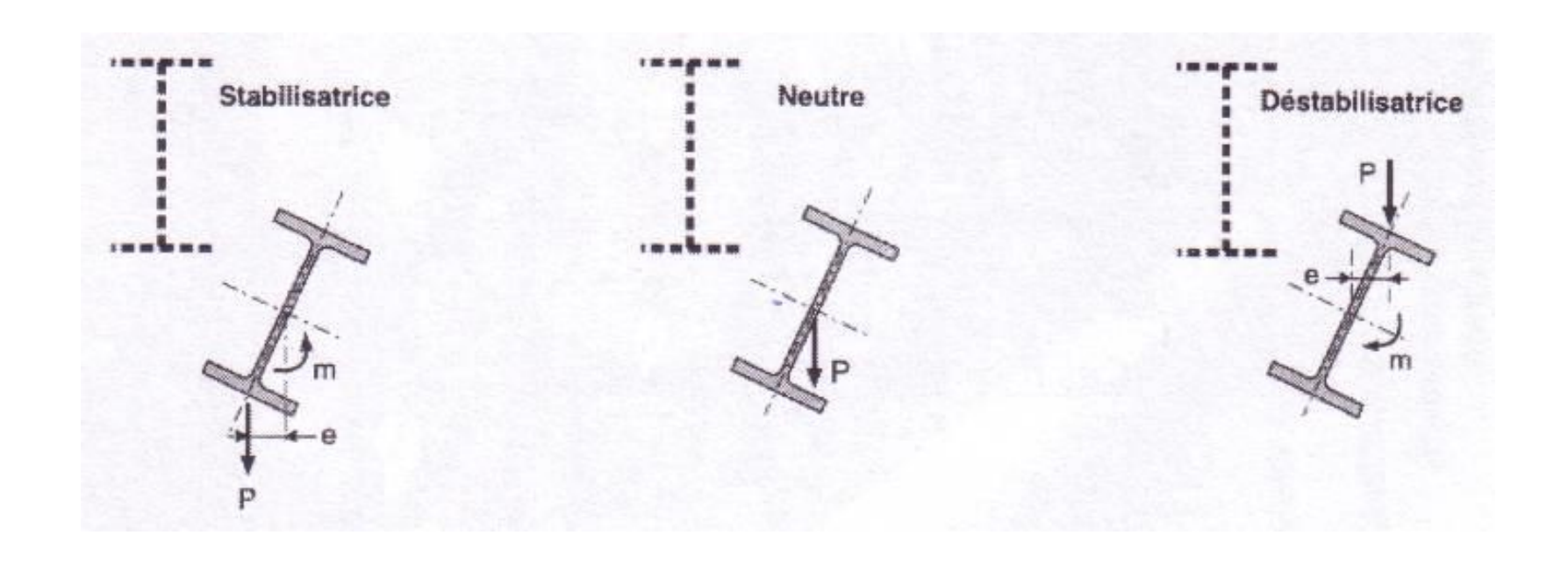
Phénomène d'instabilité de la poutre en flexion

☐ Le déversement affecte les semelles comprimées des pièces fléchies

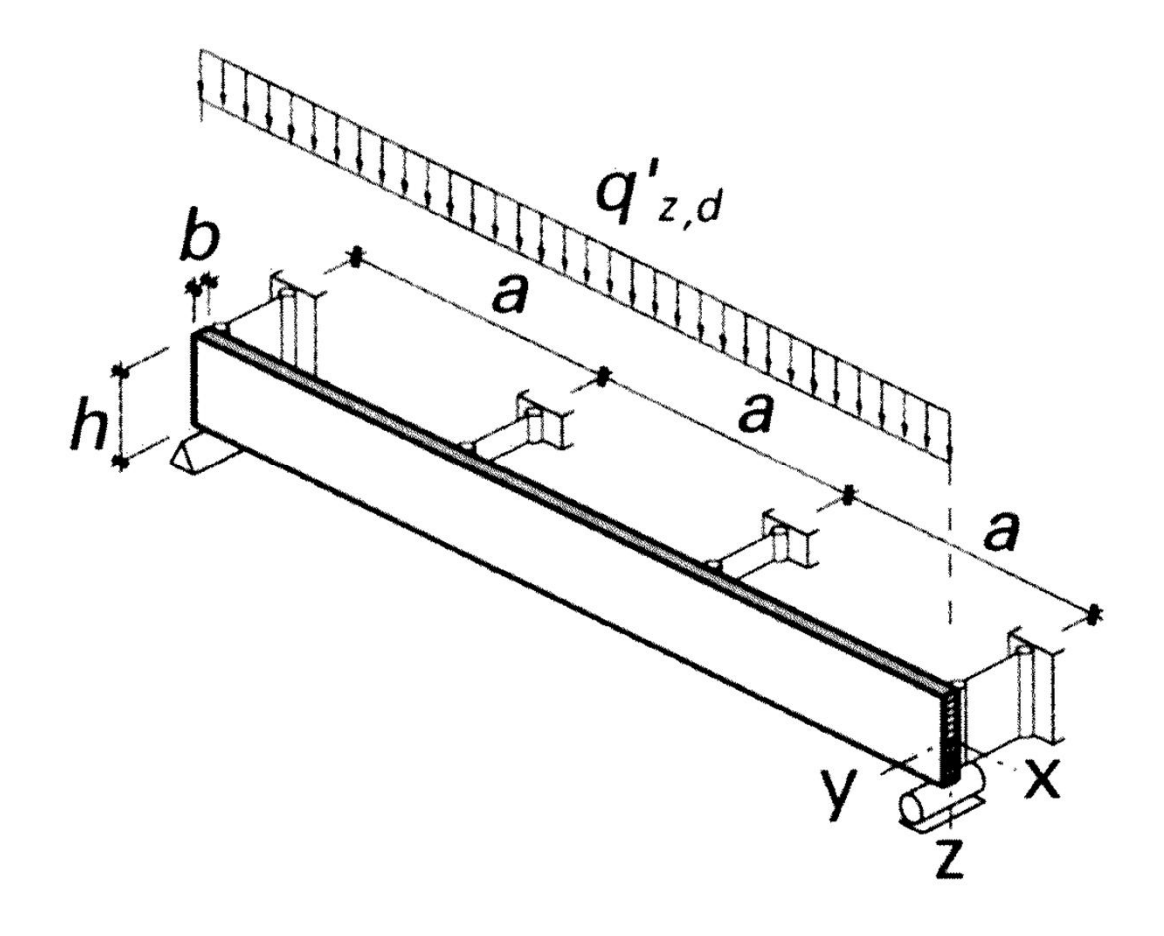


Déversement

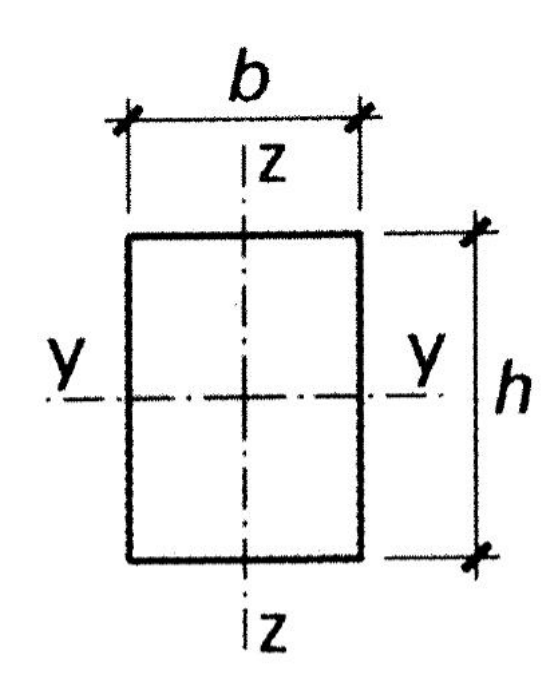
Phénomène d'instabilité de la poutre en flexion



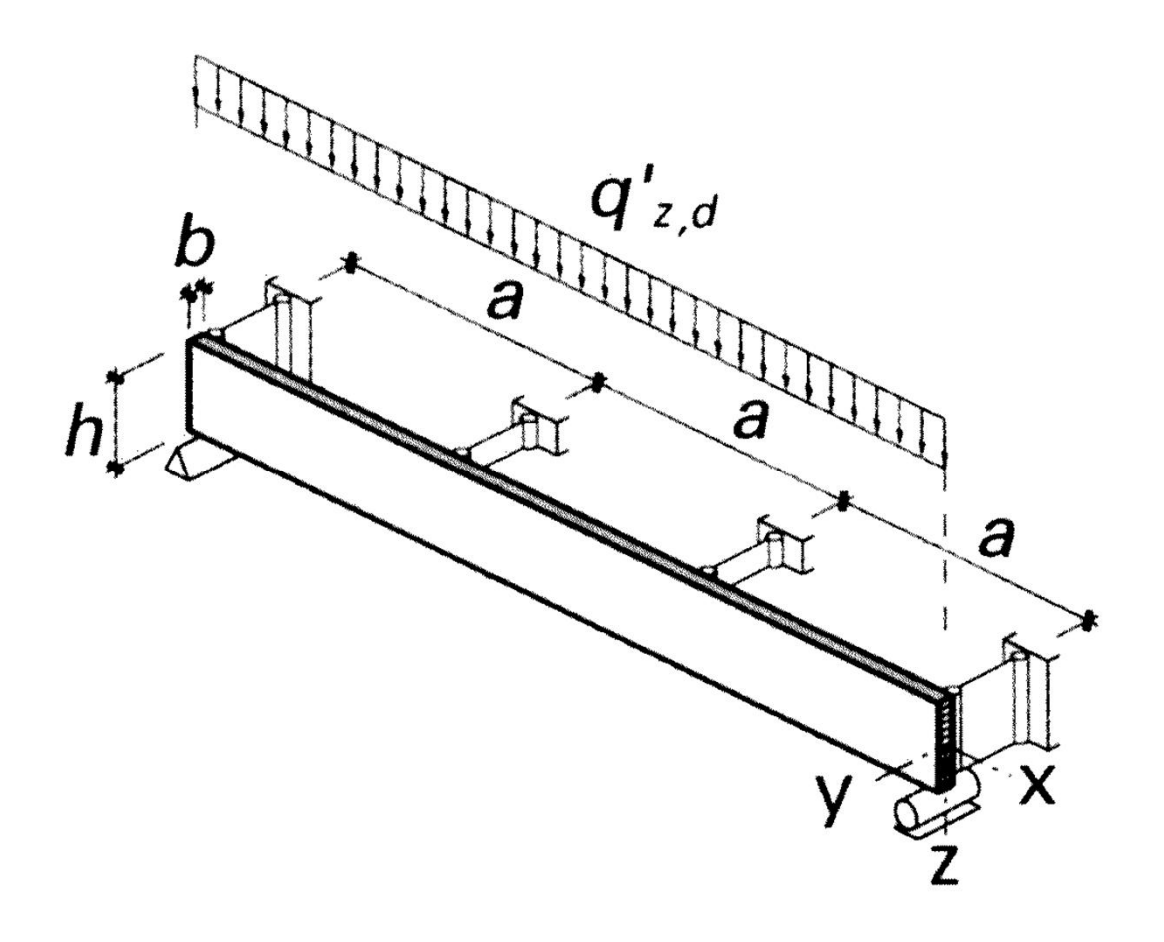
Le déversement de la poutre km



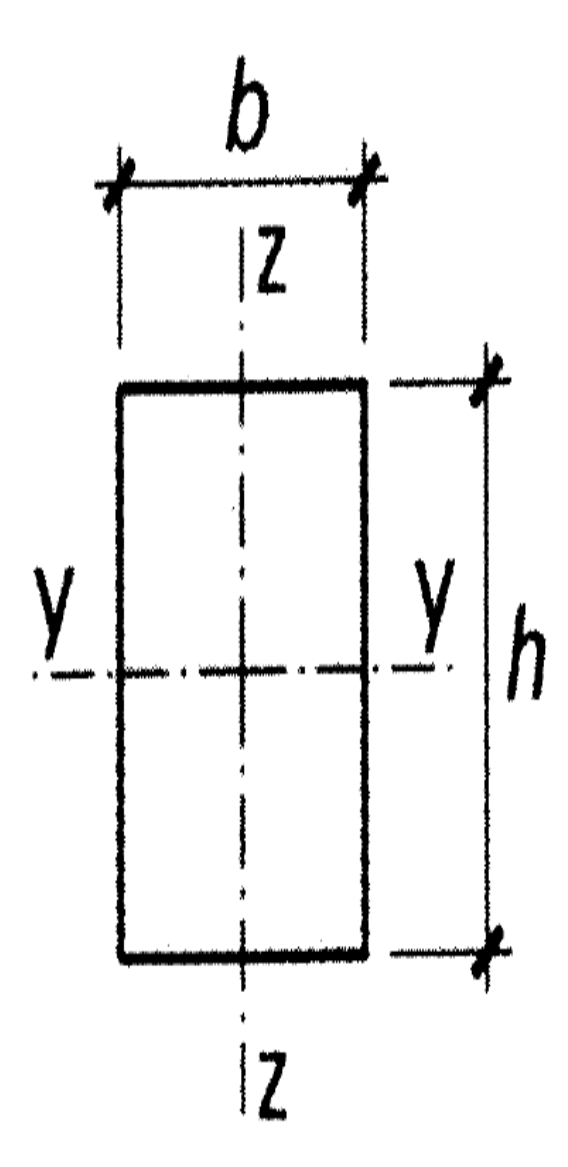
$$\sigma_{m,d} \leq k_m f_{m,d}$$



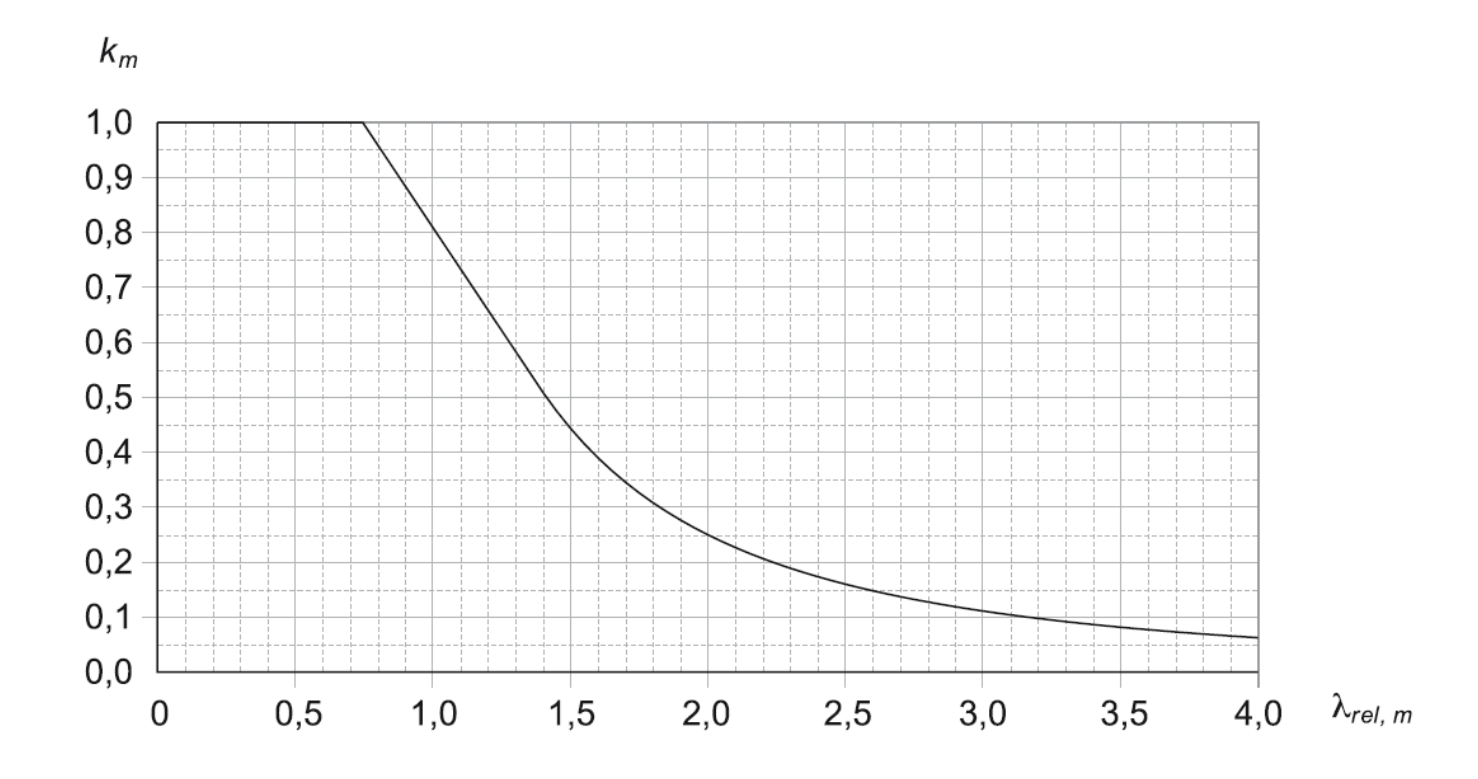
Le déversement de la poutre km



$$\sigma_{m,d} \leq k_m f_{m,d}$$



Le déversement de la poutre



$$k_{m} = \begin{cases} 1 & \text{pour } \lambda_{rel,m} \leq 0,75 \\ 1,56 - 0,75 \ \lambda_{rel,m} & \text{pour } 0,75 < \lambda_{rel,m} \leq 1,4 \\ 1/\lambda_{rel,m}^{2} & \text{pour } 1,4 < \lambda_{rel,m} \end{cases}$$

Le déversement de la poutre

$$\lambda_{rel,m} = \sqrt{\frac{f_{m,k}}{\sigma_{m,crit}}}$$

$$\sigma_{m,crit} = 0.75 E_{0.05} \frac{b^2}{ah}$$
resp. $\lambda_{rel,m} = 1.15 \frac{\sqrt{ah}}{b} \sqrt{\frac{f_{m,k}}{E_{0.05}}}$

En simplifiant, l'élancement relatif $\lambda_{rel,m}$ pour des résineux peut être admis comme suit:

pour le bois massif $\lambda_{rel,m} = 0.07 \, \frac{\sqrt{ah}}{b}$ pour le bois lamellé collé $\lambda_{rel,m} = 0.06 \, \frac{\sqrt{ah}}{b}$

$$\lambda_{rel,m} = 0.07 \frac{\sqrt{ah}}{b}$$

$$\lambda_{rel,m} = 0.06 \frac{\sqrt{ah}}{b}$$

Le déversement de la poutre

$$\lambda_{rel,m} = \sqrt{\frac{f_{m,k}}{\sigma_{m,crit}}} \qquad \sigma_{m,crit} = 0.75 E_{0.05} \frac{b^2}{ah}$$

$$\operatorname{resp.} \ \lambda_{rel,m} = 1.15 \frac{\sqrt{ah}}{b} \sqrt{\frac{f_{m,k}}{E_{0.05}}}$$

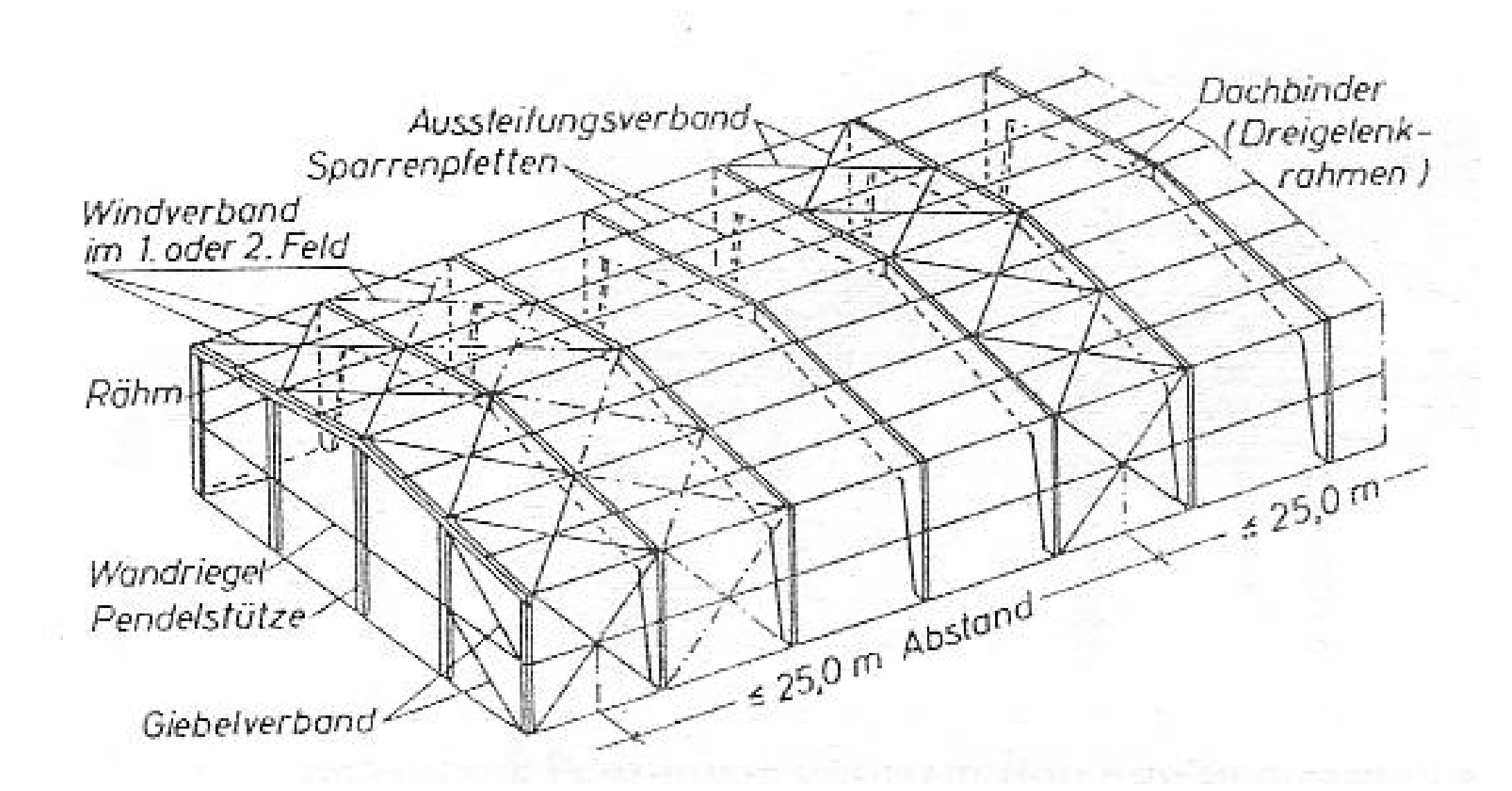
En simplifiant, l'élancement relatif $\lambda_{rel,m}$ pour des résineux peut être admis comme suit:

- pour le bois massif
$$\lambda_{rel,m} = 0.07 \frac{\sqrt{ah}}{b}$$

- pour le bois lamellé collé
$$\lambda_{rel,m} = 0.06 \frac{\sqrt{ah}}{b}$$

Triangulation et stabilisation

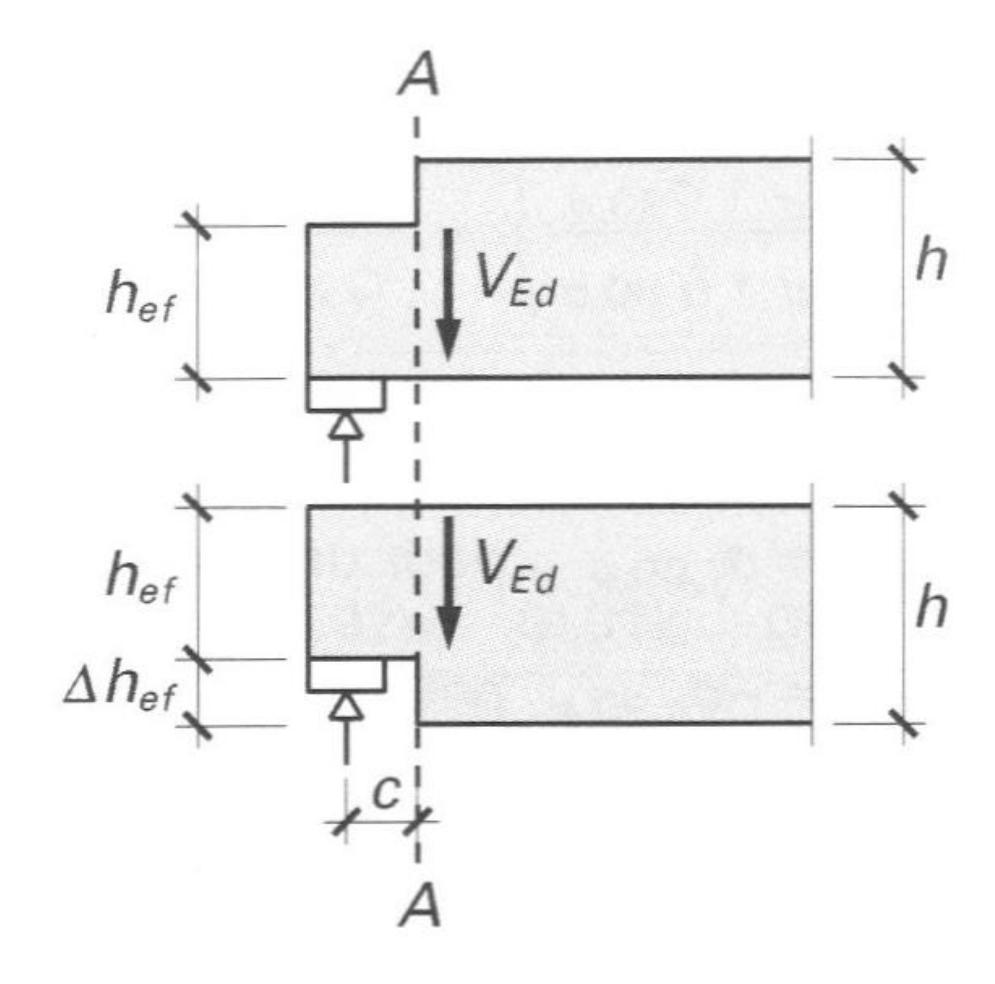
Stabilisation



L'effort tranchant

La contrainte de l'effort tranchant

$$\tau_d = \frac{3}{2} \cdot \frac{V_{z,Ed}}{A}$$



La résistance au cisaillement

Bois massif

Tableau 6: Propriétés caractéristiques et valeurs de calcul du bois massif (η_w = 1,0 et η_t = 1,0)

Classes de résistance		Résineux			
	C16	C24	C30	D30	
Contrainte de cisaillement 6) $f_{\nu d}$ N/mm	1,5	1,5	1,5	2,0	

Bois lamellé collé

Tableau 7: Propriétés caractéristiques et valeurs de calcul pour le bois lamellé collé de résineux (pour η_w = 1,0 et η_t = 1,0)

	BLC normal				BLC haute qualité 5)			
Classes de résistance	GL24k	GL24h	GL28k	GL28h	GL32k	GL32h	GL36k	GL36h
Contrainte de cisaillement $f_{v,d}$ N/n	nm² 1,8	1,8	1,8	1,8	1,8	1,8	1,8	1,8

Fagus BTC

Classes de résistance		BTC 40	BTC 48	BTC 48Eplus	
Propriétés caractéristiques = val	eurs caractéristiques 1)				
Poussée	fv,d	N/mm²		3,4	

Combinaison N_{perp} et V_d

Interaction effort tranchant et effort normal perpendiculaire au fil

$$\left(\frac{f_{c,90,d} + \sigma_{90,d}}{f_{c,90,d} + f_{t,90,d}}\right)^{2} + \left(\frac{\tau_{d}}{f_{v,d}}\right)^{2} \cdot \left[1 - \left(\frac{f_{c,90,d}}{f_{c,90,d} + f_{t,90,d}}\right)^{2}\right] \le 1$$
(SIA 265 – 4.2.7)

avec:

 $\sigma_{90,d} = \sigma_{t,90,d}$ pour une contrainte de traction perpendiculaire au fil en N/mm²

 $\sigma_{90,d} = -\sigma_{c,90,d}$ pour une contrainte de compression perpendiculaire au fil en N/mm²

 $f_{c,90,d}$ Valeur de calcul de la résistance à la compression perpendiculaire au fil en N/mm²

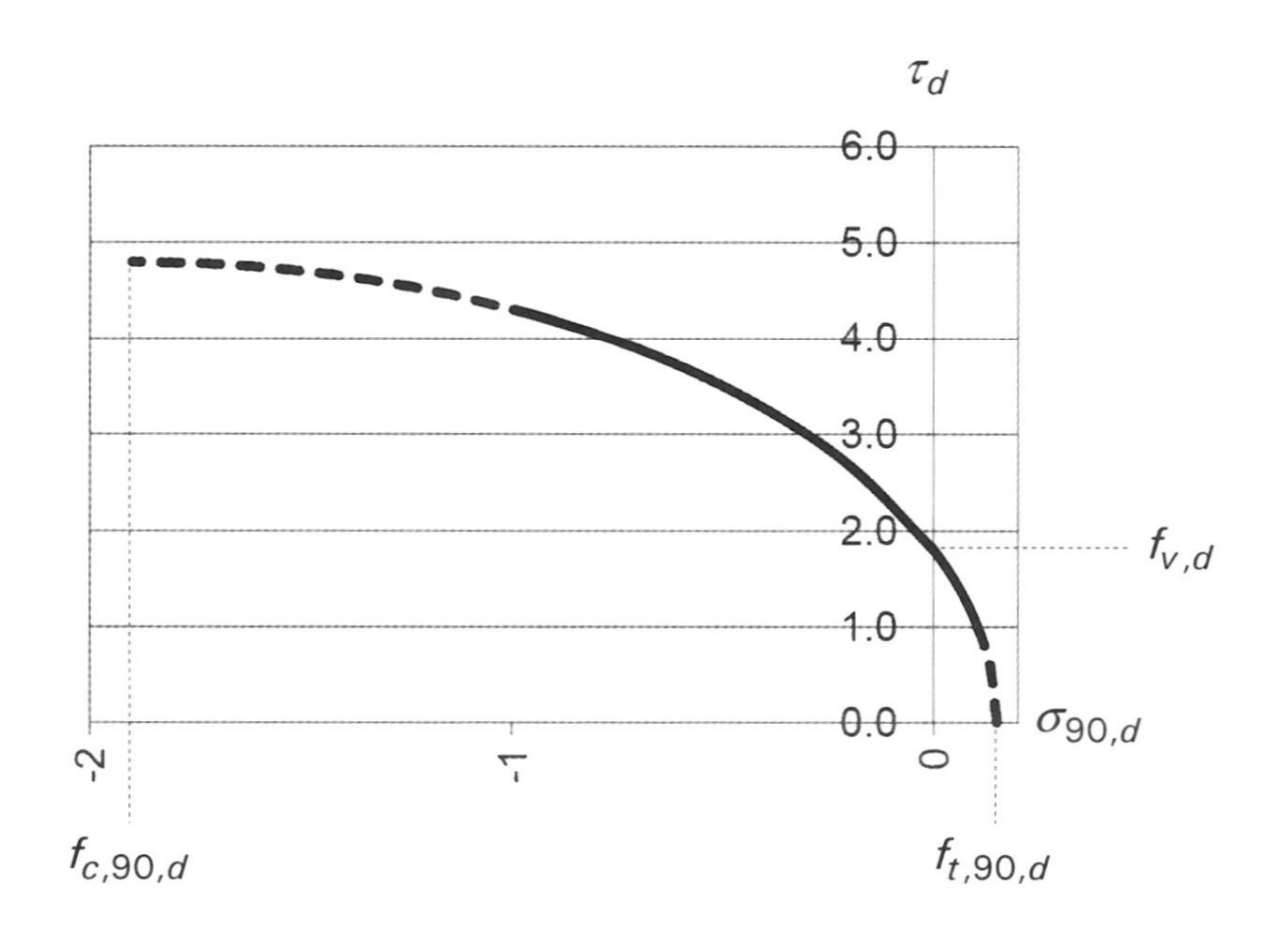
 $f_{t,90,d}$ Valeur de calcul de la résistance à la traction perpendiculaire au fil en N/mm²

 au_d Valeur de calcul de la contrainte de cisaillement en N/mm²

 $f_{v,d}$ Valeur de calcul de la résistance au cisaillement en N/mm²

Combinaison N_{perp} et V_d

Interaction effort tranchant et effort normal perpendiculaire au fil



Dessin pour le GL24h avec $f_{c,90,d} = 1.9 \text{ N/mm}^2$, $f_{t,90,d} = 0.15 \text{ N/mm}^2$, $f_{v,d} = 1.8 \text{ N/mm}^2$

Combinaison N perp et Vd

Simplification tableau k_{red} (Tab. 12 SIA 265)

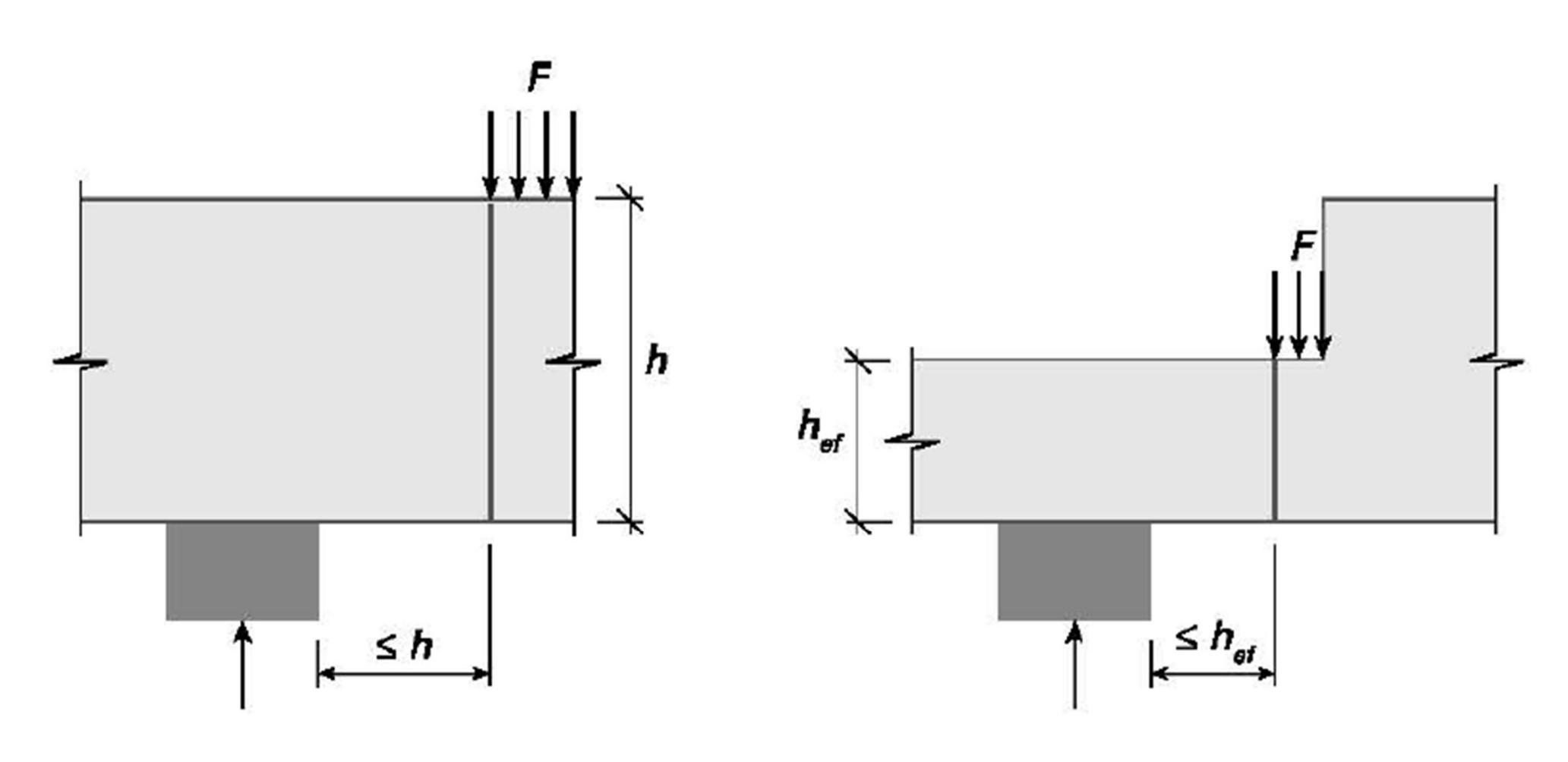
Tableau 12: Facteurs de réduction k_{red} lors de réductions de section (valable pour $c \le 0.4 h$ et $h_{ef} \ge 0.5 h$)

Sollicitation	Coefficient de réduction k_{red}	
Effort tranchant avec traction perpendiculaire, en général	$k_{red} = \frac{\sqrt{\Delta h_0}}{\sqrt{h}} \frac{1}{\sqrt{\frac{h_{ef}}{h} - (\frac{h_{ef}}{h})^2} + 0.8 \frac{c}{h} \sqrt{\frac{h}{h_{ef}} - (\frac{h_{ef}}{h})^2}} \le 1$	(58)
Effort tranchant avec traction perpendiculaire, si $c = \Delta h_{ef}$	$k_{red} = \sqrt{\frac{h_{ef}}{h} \frac{\Delta h_0}{\Delta h_{ef}}} \le 1$	(59)
Effort tranchant avec compression perpendiculaire	$k_{red} = 1$	(60)

- Δh_0 25 mm pour du bois massif en résineux
 - 45 mm pour du bois lamellé collé en résineux
- c distance entre la ligne d'action de la réaction d'appui et l'angle de la réduction de section en mm
- h hauteur de la poutre en mm
- hef hauteur réduite de la poutre en mm
- Δh_{ef} profondeur de l'entaille en mm

Transmission direct de l'effort tranchant

Lors de transfert direct par compression transversale

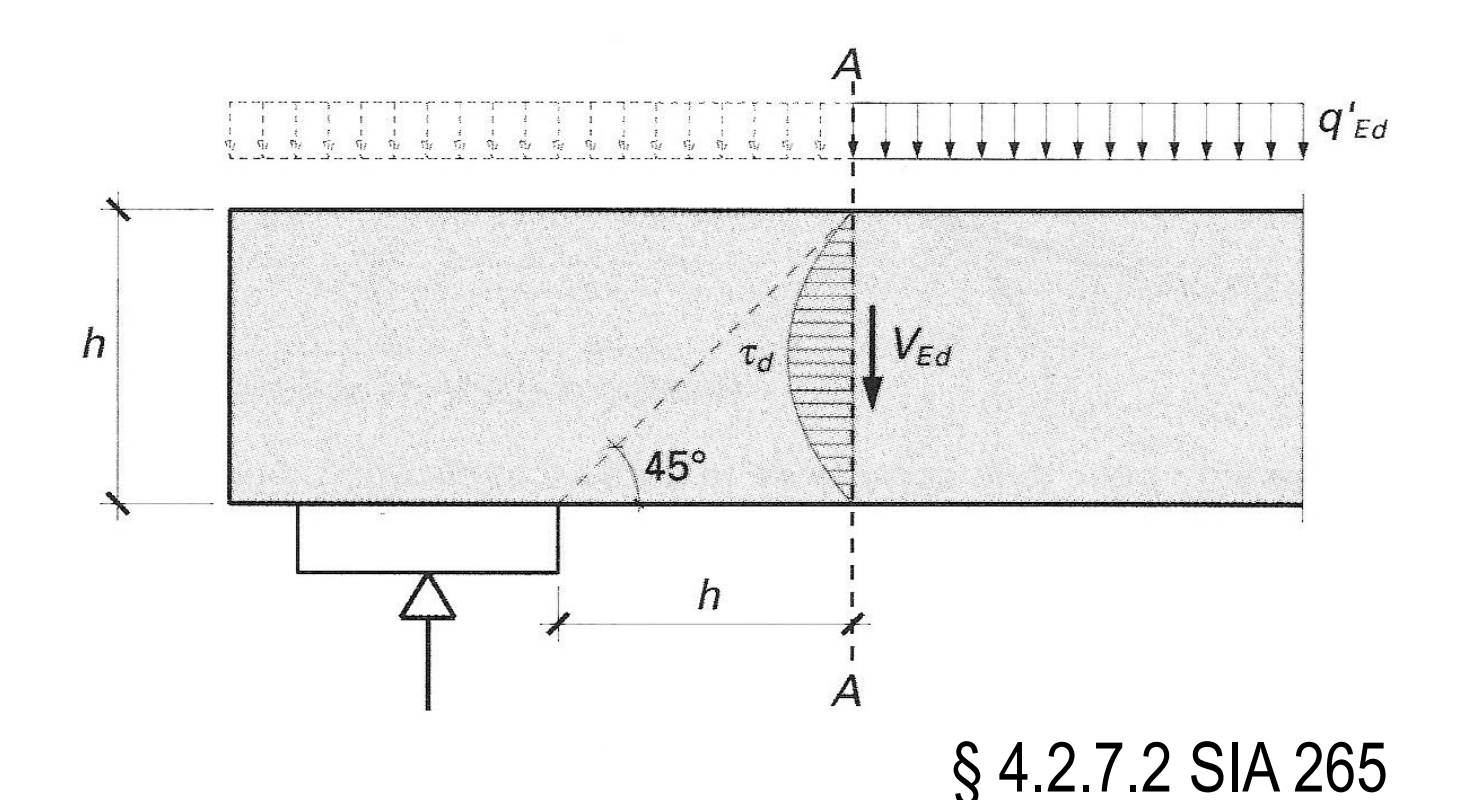


Combinaison N $_{perp}$ et V_{d}

Exemple $q'_{z,Ed}$ Faux Juste

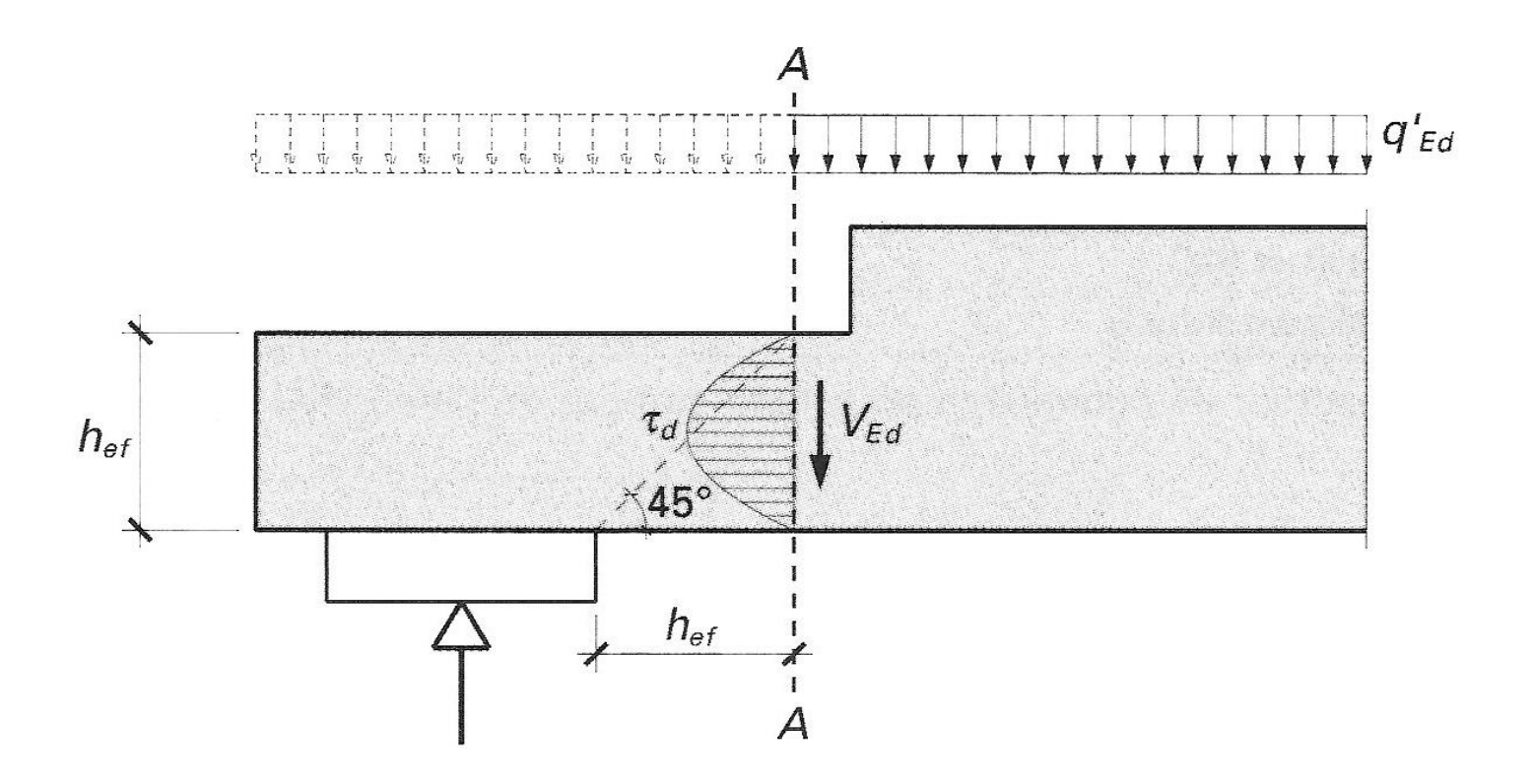
Combinaison N_{perp} et V_d

Interaction effort tranchant et effort normal perpendiculaire au fil



L'effort tranchant

La contrainte à l'effort tranchant



Contrainte perpendiculaire à la fibre

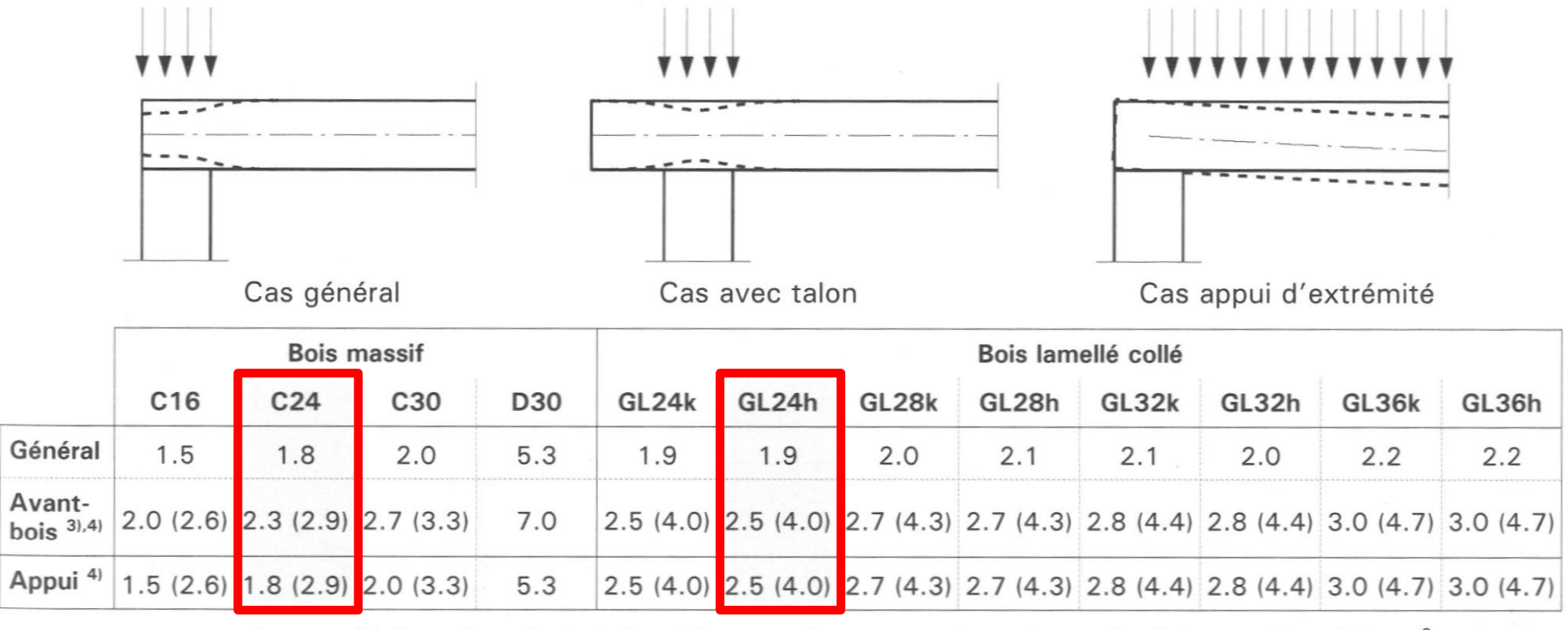
Tableau 6: Propriétés caractéristiques et valeurs de calcul du bois massif (η_w = 1,0 et η_t = 1,0)

CI	asses de résistance	Résineux				Chêne Hêtre	
				C16	C24	C30	D30
Resista	Compression ⊥ au fil	f _{c,90,d}					
es	 en général 		N/mm ²	1,5	1,8	2,0	5,3
r	 avec un avant-bois ^{3) 4)} 		N/mm ²	2,0 (2,6)	2,3 (2,9)	2,7 (3,3)	7,0
	 appui d'extrémité ⁴⁾ 		N/mm ²	1,5 (2,6)	1,8 (2,9)	2,0 (3,3)	5,3

³⁾ L'avant-bois doit dépasser de 100 mm de chaque côté. Sinon prendre la valeur «en général».

⁴⁾ La valeur supérieure (entre parenthèses) n'est admissible que si les déformations qui en résultent sont sans conséquence sur le comportement de l'élément porteur.

Exemple de la publication



 $f_{c,90,d}$: Valeur de calcul de la résistance à compression perpendiculaire au fil en N/mm² pour $\eta_t = 1$ et $\eta_w = 1$

³⁾ L'avant-bois doit dépasser de 100 mm de chaque côté, sinon prendre la valeur générale.

La valeur supérieure (entre parenthèse) n'est admissible que si les déformations qui en résultent sont sans conséquence sur le comportement de l'élément porteur.

Fagus BTC

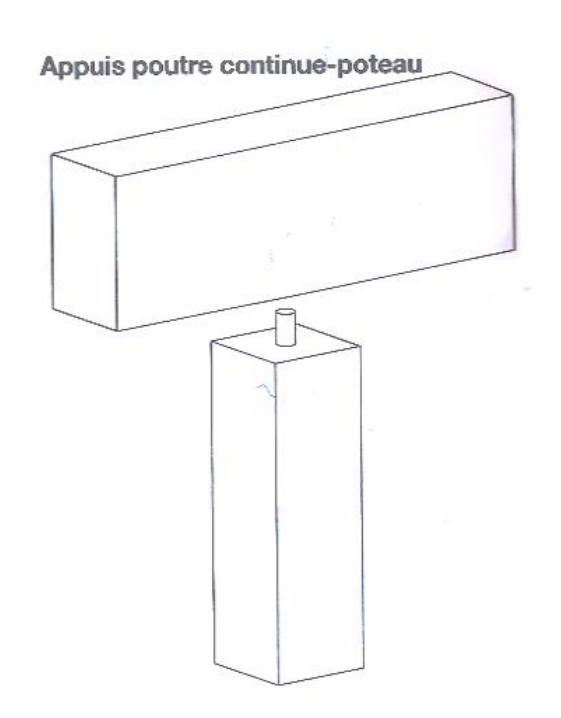
Pression \(\prescript{\pression}\) aux fibres	fc,90,d			
- général	N/mm²	5,0	5,0	5,0
- avant-bois d'un coté ²⁾	N/mm²	6,0	6,0	6,0
- avant-bois sur les deux cotés ²	N/mm²	7,5	7,5	7,5

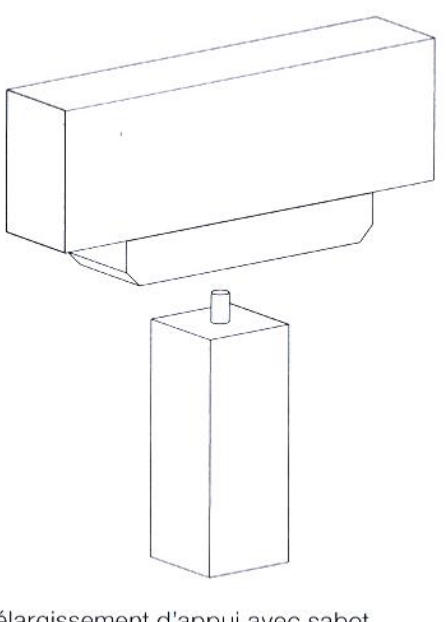
Ou encore le GL75 de Baubuche

Exemple

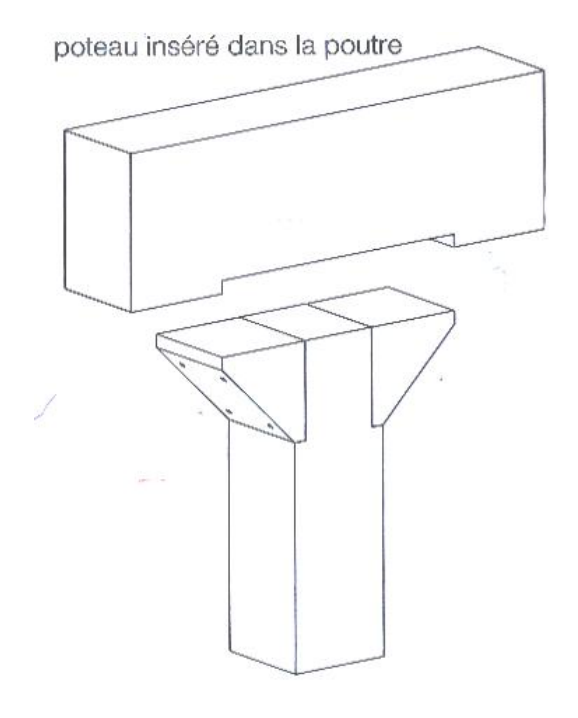
Exemple de réalisation







élargissement d'appui avec sabot en bois dur







Exemple de réalisation





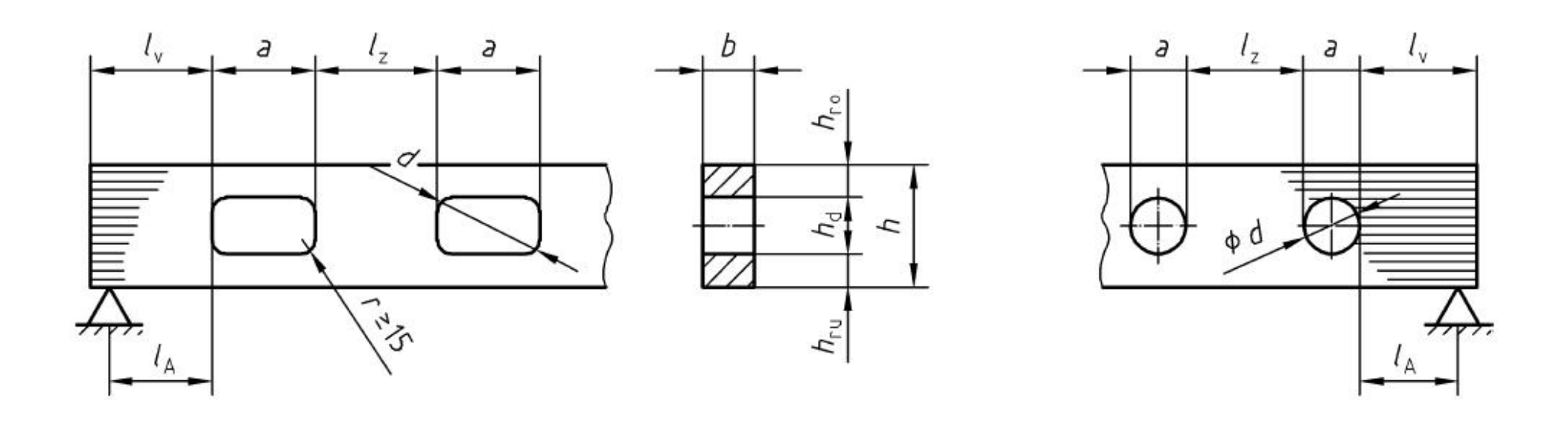
Exemple de construction





Evidement

Evidemment, règle constructive (DIN 1052)



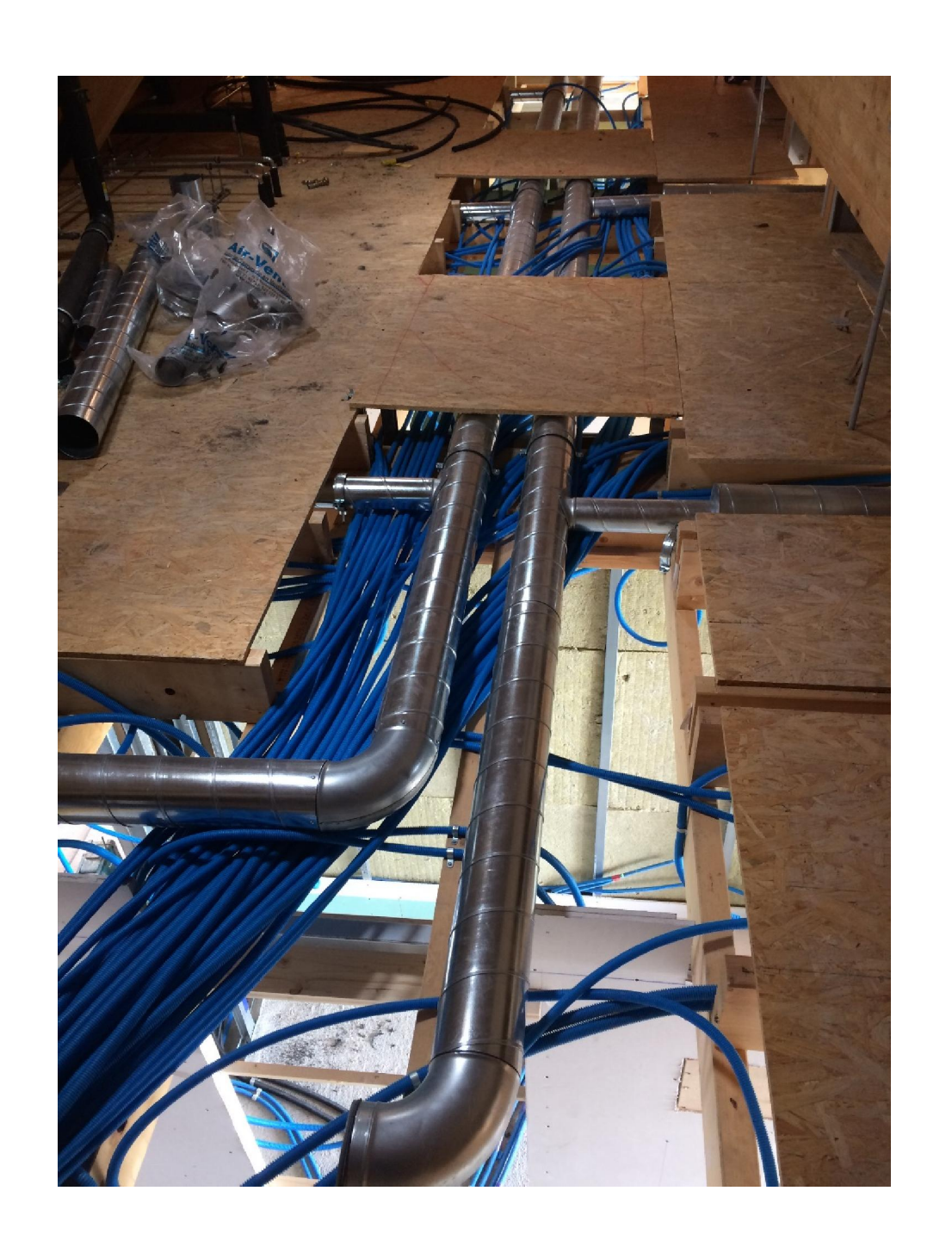
$\ell_{V} \geq h$	$\ell_{Z} \geq h$,	minimum	300 mm	$\ell_{A} \geq h/2$	$h_{ro(ru)} \ge 0.25 \cdot h$	a ≤ h	$h_{d} \leq 0,4 \cdot h$
-------------------	---------------------	---------	--------	---------------------	-------------------------------	-------	--------------------------

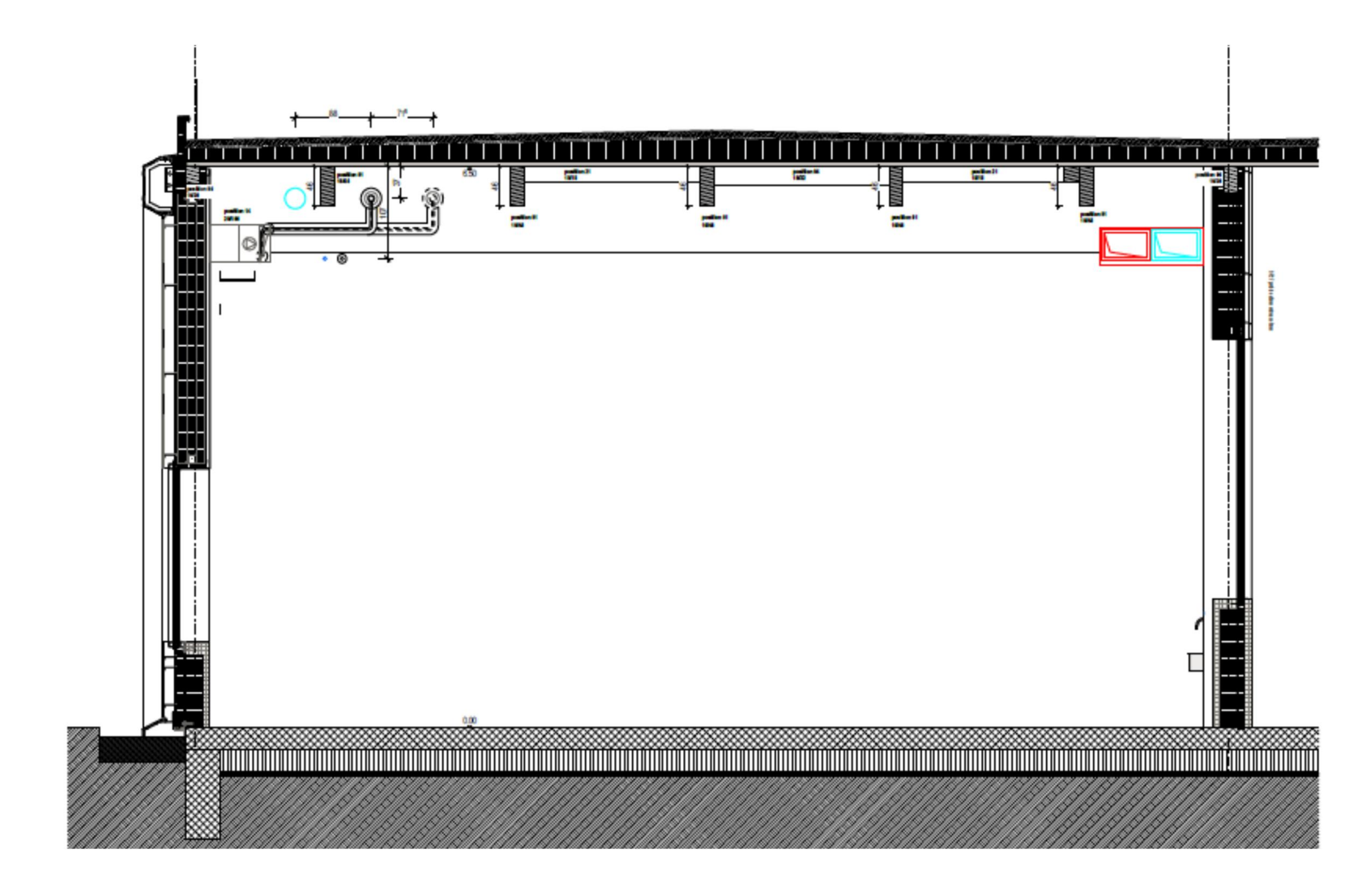
Evidement

Évidement avec renforts Figure 45: Renfort intérieur $h_{r,o}$ >|_{ad} |V_{Ed} $F_{t,90,Ed}$ $F_{t,90,Ed}$ h_a $F_{t,90,Ed}$ $F_{t,90,Ed}$ >lad h_{r,u} V_{Ed} V_{Ed} Renfort extérieur h |V_{Ed} |V_{Ed} ha h V_{Ed}

Technique



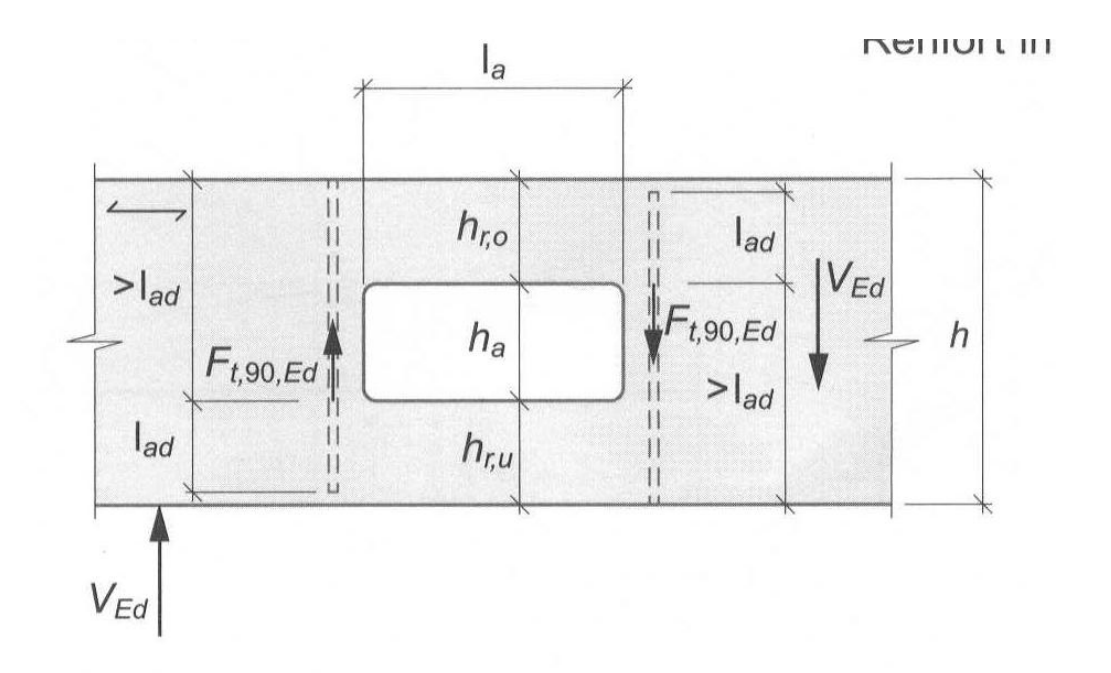




Evidement

Annexe D – SIA 265

$$F_{t,90,Ed} = \frac{h_a}{4h} \left[3 - \left(\frac{h_a}{h} \right)^2 \right] V_{Ed} + \frac{1}{125h_r} M_{Ed}$$



Evidenment DIN 1052

$$F_{t,90,d} = F_{t,V,d} + F_{t,M,d}$$

Avec

$$F_{\mathsf{t},\,\mathsf{V},\,\mathsf{d}} = \frac{V_{\mathsf{d}} \cdot h_{\mathsf{d}}}{4 \cdot h} \cdot \left[3 - \frac{h_{\mathsf{d}}^2}{h^2} \right] \qquad \qquad F_{\mathsf{t},\,\mathsf{M},\,\mathsf{d}} = \mathsf{0.008} \cdot \frac{M_{\mathsf{d}}}{h_{\mathsf{r}}}$$

$$F_{t,M,d} = 0.008 \cdot \frac{M_d}{h_r}$$

 M_d effort de flexion de dimensionnement effort tranchant de dimensionnement V^{q}

$$h_r = min (h_{ro}; h_{ru})$$

$$h_r = min (h_{ro} + 0.15 h_d; h_{ru} + 0.15 h_d)$$

pour un percement rectangulaire pour un percement circulaire

Evidemment DIN 1052

$$\frac{F_{t,90,d}}{0,5 \cdot \ell_{t,90} \cdot b \cdot f_{t,90,d}} \le 1$$

b : largeur de la poutre

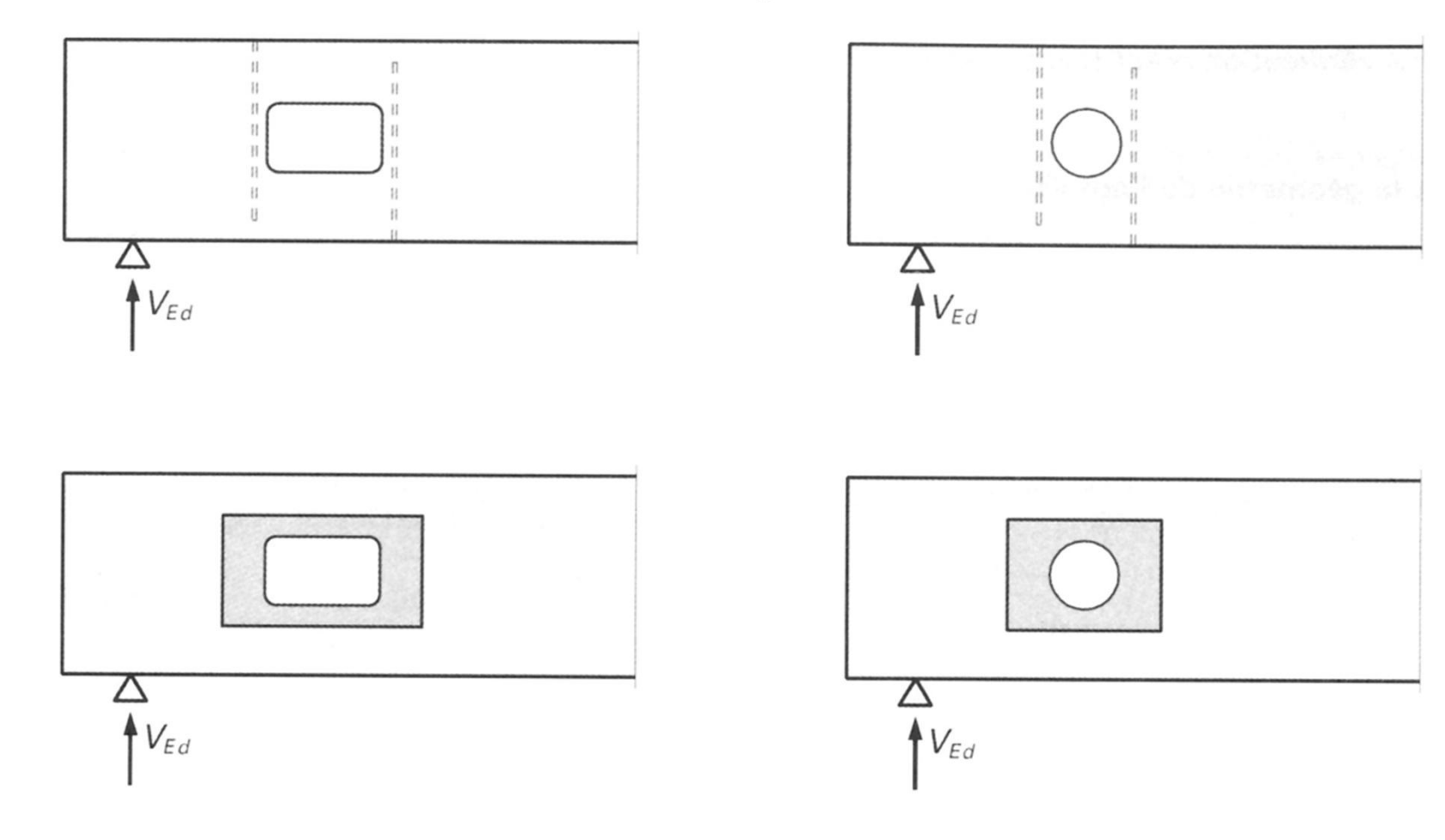
 $f_{t,90,d}$: traction perpendiculaire à la fibre

et

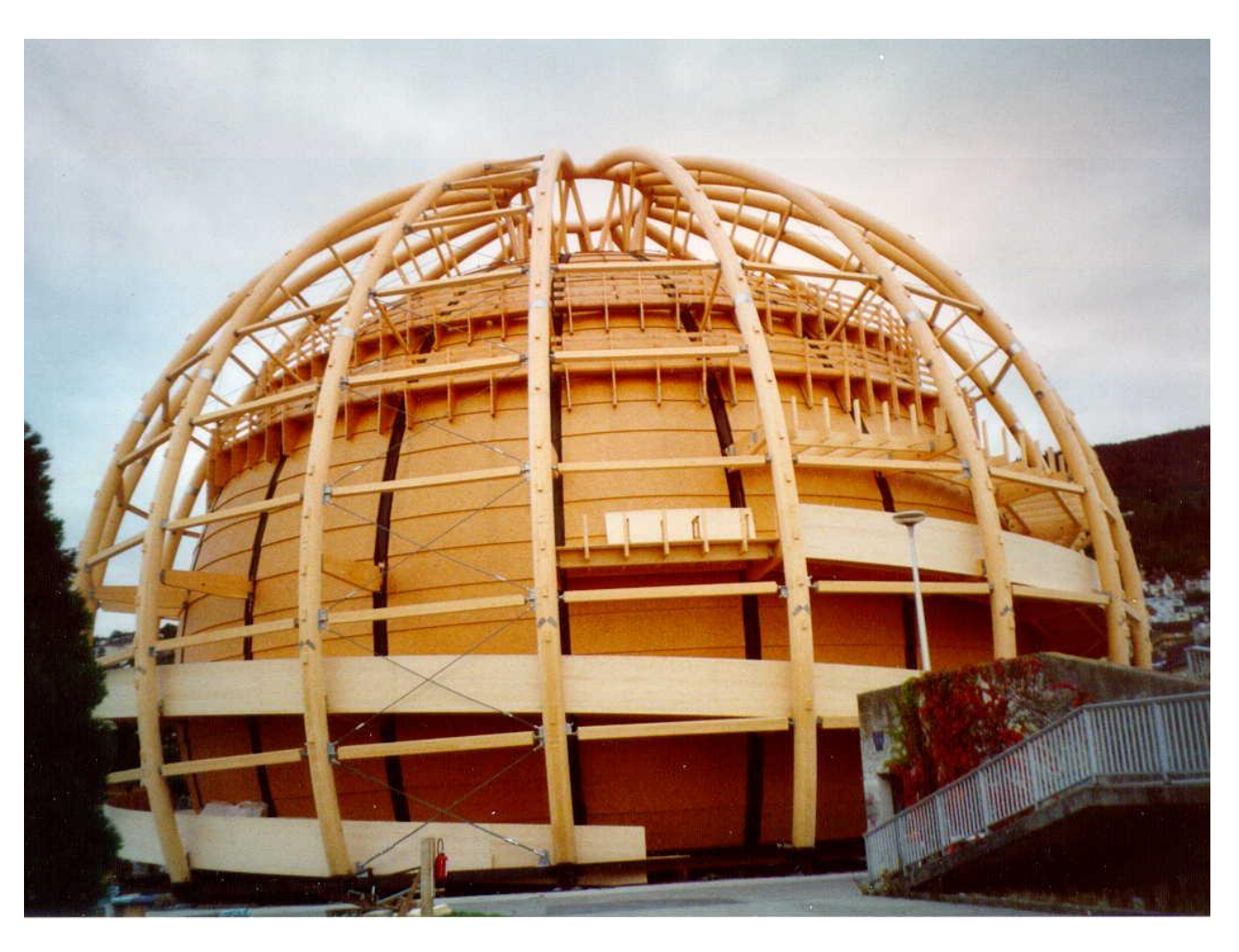
 $I_{t,90} = 0.5 (h_d + h)$ pour des évidements de section rectangulaire $I_{t,90} = 0.353 h_d + 0.5 h$ pour des évidements circulaire

Evidemment - renforcement

Annexe D4 : Renfort d'évidement dans des poutres rectangulaires soumises à la flexion



- Le palais de l'équilibre
- Entreprise Ducret à Orges
- Charpente Concept SA



Sports Core Belpmoos



http://www.schweizerholzbau.ch/

Représentation des rayons – contrainte intérieure

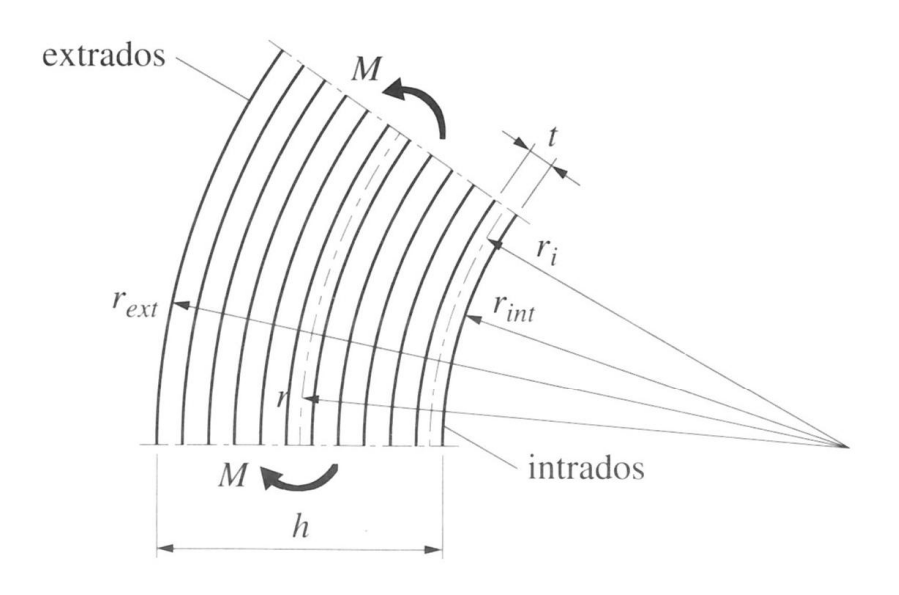
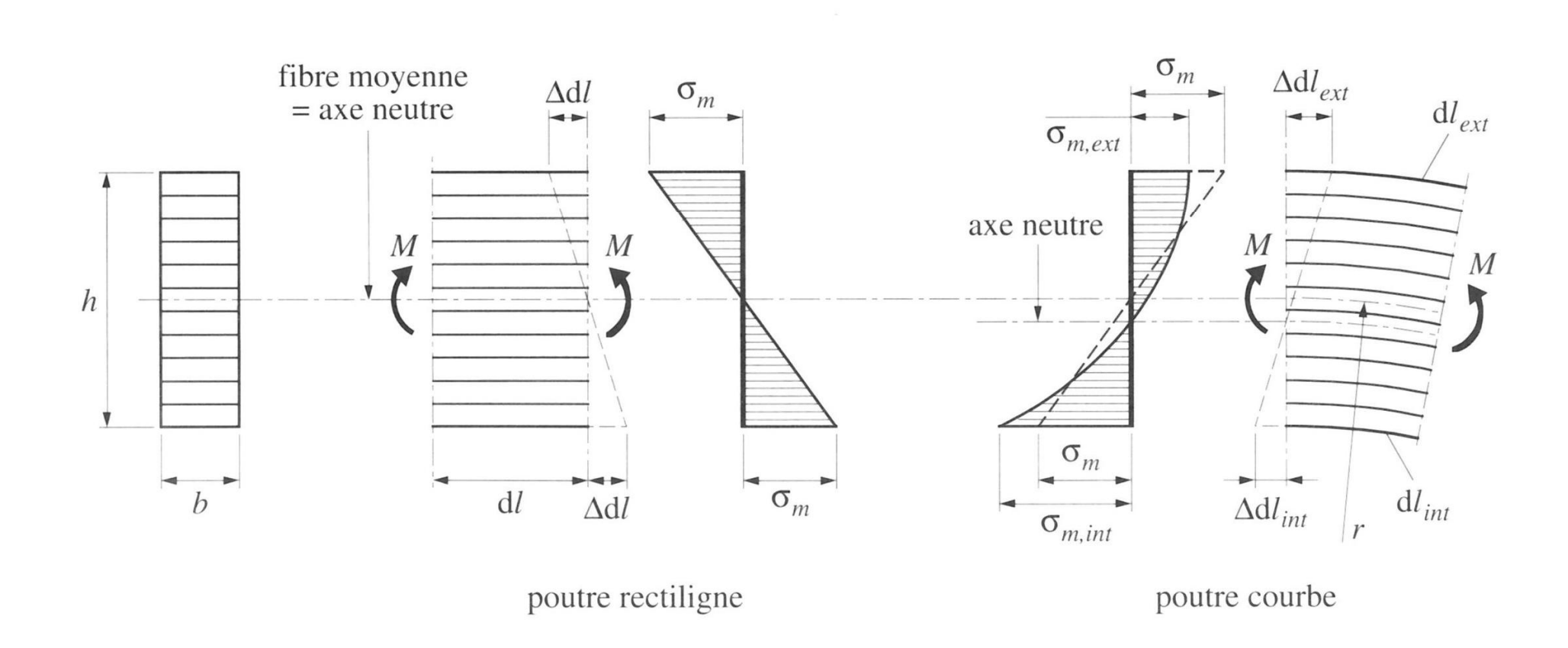


Fig. 6.41 Représentation des différents rayons de courbure à considérer.

Contrainte intérieure

$$\sigma = \frac{1}{2} \frac{E t}{r_{int}} = \frac{1}{2} \frac{10000 \text{ N/mm}^2}{200} = 25 \text{ N/mm}^2$$

Répartition de la flexion



Facteur k_{//}

$$\sigma_{m,d} = k_{\parallel} \frac{M_d}{W} \tag{6.41}$$

 $\sigma_{m,d}$: valeur de calcul de la contrainte de flexion

 k_{\parallel} : coefficient tenant compte de la distribution hyperbolique des contraintes de flexion pour les

poutres courbes à inertie constante

 M_d : valeur de calcul du moment de flexion

Selon Eurocode 5

$$k_{||} = 1 + 0.35 \left(\frac{h}{r}\right) + 0.6 \left(\frac{h}{r}\right)^2$$

Selon SIA 164

$$k_{||} = 1 + \frac{h}{2r}$$

Selon SIA 265

Contraintes tangentielles (parallèles au fil):

– extrados:

$$\sigma_{ma,d} = \left| -\frac{M_{Ed}}{W} \right| \le k_r f_{m,d}$$

– intrados:

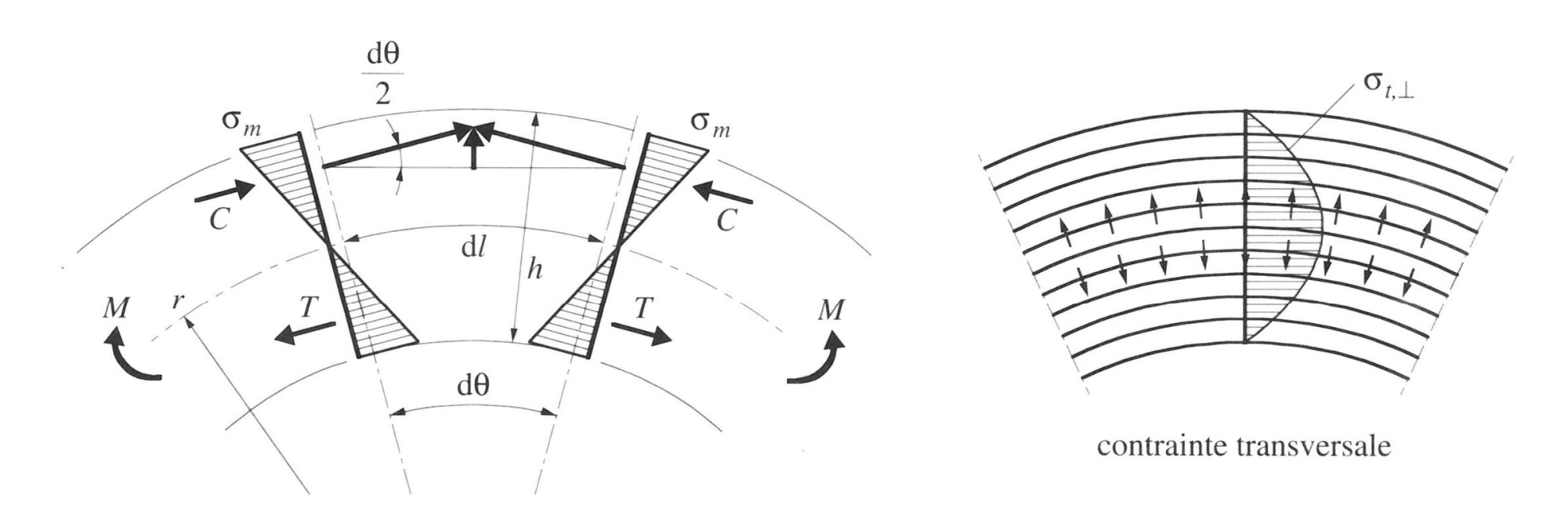
$$\sigma_{mi,d} = \left| + \frac{M_{Ed}}{W} \left(1 + \frac{h}{2r} \right) \right| \le f_{m,d}$$

$$k_r = 1 - 40 \; \frac{t}{r_a}$$

t épaisseur des lames

 r_a rayon de courbure de l'extrados.

Autre particularité – traction perpendiculaire à la fibre



mise en évidence de la composante transversale

Traction perpendiculaire à la fibre

$$\sigma_{t,\perp,d} = k_{\perp} \frac{M_d}{W} \tag{6.46}$$

 $\sigma_{t,\perp,d}$: valeur de calcul de la contrainte de traction perpendiculaire aux fibres

 k_{\perp} : coefficient lié à la géométrie de la poutre ($k_{\perp} = h/(4 \ r)$ pour une poutre courbe d'inertie

constante)

 M_d : valeur de calcul du moment de flexion

W : module de flexion de la section

Renforcement perpendiculaire à la fibre

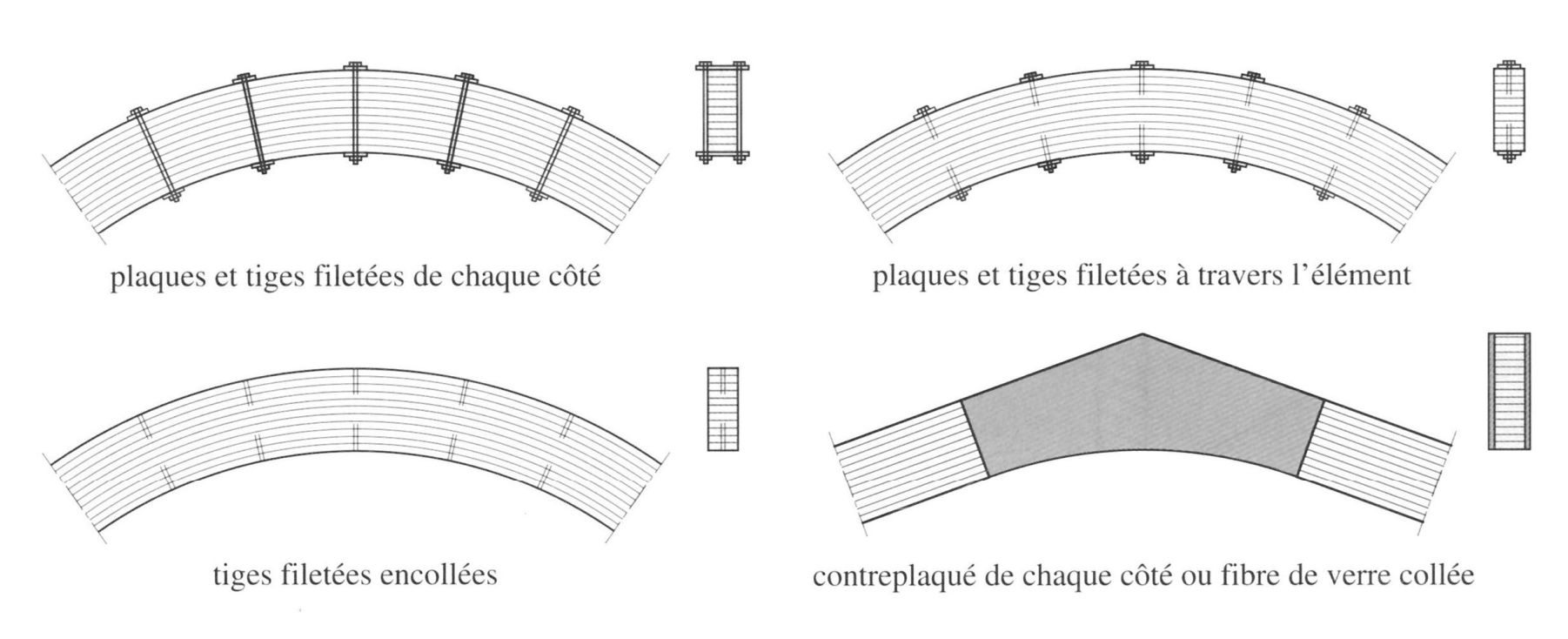


Fig. 6.44 Systèmes de renforcements en traction perpendiculaire des arcs cintrés en bois.

Exercice du jour

- Poutre simple sur 2 appuis,
- Avec réalisation d'un percement